

SVEUČILIŠTE U ZAGREBU  
PRIRODOSLOVNO-MATEMATIČKI FAKULTET  
FIZIČKI ODSJEK

**Zrinka Gregurić**

Diplomski rad

**DIELEKTRIČNA RELAKSACIJA  
VODENIH OTOPINA  
HIJALURONSKE KISELINE**

Zagreb, 2008.

SVEUČILIŠTE U ZAGREBU  
PRIRODOSLOVNO-MATEMATIČKI FAKULTET  
FIZIČKI ODSJEK

SMJER: PROF. FIZIKE

**Zrinka Gregurić**

Diplomski rad

**DIELEKTRIČNA RELAKSACIJA  
VODENIH OTOPINA  
HIJALURONSKE KISELINE**

Voditelj diplomskog rada: **Dr. sc. Silvia Tomić**

Suvoditelj diplomskog rada: **Dr. sc. Maja Planinić**

Ocjena diplomskog rada: \_\_\_\_\_

Povjerenstvo: 1. \_\_\_\_\_

2. \_\_\_\_\_

3. \_\_\_\_\_

Datum polaganja: \_\_\_\_\_

Zagreb, 2008.

Ovaj rad je izrađen u grupi dr.sc. Silvije Tomić na Institutu za fiziku u Zagrebu.

Ovim putem želim se zahvaliti dr.sc. Siliviji Tomić na odabiru teme i vođenju u izradi diplomskog rada te ostalim članovim grupe, dr.sc. Tomislavu Vuletiću na trudu i nesebičnoj pomoći u izradi diplomskog rada, dipl. ing. Tomislavu Ivecu na pruženoj tehničkoj podšci koja je uvelike olakšala izradu ovog rada te mr.sc. Sanji Dolanski-Babić na pruženoj pomoći. Zahvaljujem se dr.sc. Maji Planinić na suvoditeljstvu diplomskog rada.

Na kraju se želim zahvaliti članovima moje obitelji, dečku te svim prijateljima na njihovoј podršci tokom studija.

# Sadržaj

<b>1</b>	<b>Uvod</b>	<b>1</b>
<b>2</b>	<b>Teorijski uvod</b>	<b>3</b>
2.1	Elektrostatika i entropija: Poisson-Boltzmannova jednadžba . . . . .	3
2.1.1	Debye Hückelova aproksimacija . . . . .	4
2.1.2	Bjerrumova dužina . . . . .	5
2.1.3	Manning Oosawaina kondenzacija . . . . .	6
2.2	Fundamentalne prostorne skale . . . . .	7
2.2.1	Dužina tvrdokornosti . . . . .	7
2.2.2	Razrijedene polielektrolitske otopine . . . . .	8
2.2.3	Polurazrijedene polielektrolitske otopine . . . . .	9
<b>3</b>	<b>Niskofrekventna dielektrična spektroskopija</b>	<b>13</b>
3.1	Mjerni postav . . . . .	13
3.2	Utjecaj polarizacije elektroda na NFDS . . . . .	15
3.3	Obrada podataka . . . . .	17
3.3.1	Prilagodba rezultata . . . . .	19
3.3.2	Oduzimanje pozadine: tehnički elementi . . . . .	21
<b>4</b>	<b>Materijali i mjerjenje</b>	<b>23</b>
4.1	Specifikacije uzorka hijaluronske kiseline . . . . .	23
4.1.1	Kemijska struktura HA . . . . .	23
4.1.2	Fundamentalne veličine vezane uz HA . . . . .	24
4.2	Priprema uzorka . . . . .	26
4.2.1	Protokoli pripreme . . . . .	26
4.2.2	Dijaliza . . . . .	27
4.2.3	Utjecaj dijalize na provodnost uzorka . . . . .	28
4.3	Rezultati NFDS mjerjenja . . . . .	29
4.3.1	Otopine Na-HA u čistoj vodi . . . . .	29
4.3.2	Otopine Na-HA u 1mM NaCl . . . . .	32
<b>5</b>	<b>Analiza rezultata i diskusija</b>	<b>35</b>
5.1	Analiza rezultata mjerjenja dielektrične relaksacije otopina Na-HA u čistoj vodi . . . . .	35
5.1.1	Visokofrekventni mod ( <i>VF mod</i> ) . . . . .	35
5.1.2	Niskofrekventni mod ( <i>NF mod</i> ) . . . . .	37
5.2	Analiza rezultata mjerjenja dielektrične relaksacije otopina Na-HA u 1mM NaCl . . . . .	39
<b>6</b>	<b>Zaključak</b>	<b>41</b>
<b>A</b>	<b>Fizikalne veličine</b>	<b>43</b>

**Dodaci**

**B Metodički dio**

**45**

# Poglavlje 1

## Uvod

Korištenje bioloških materijala u industriji visoke tehnologije, gdje do izražaja dolaze njihova fizikalna svojstva, izazvalo je veliki interes i brojna istraživanja o njima. Tako istraživanja fizikalnih svojstava bioloških materijala spadaju u ključna istraživanja današnjice.

DNA i ostali biološki aktivni polimeri kad se nalaze u vodenoj otopini, postanu nabijene molekule, polielektroliti. Upravo takvo ponašanje pokazuje hijaluronska kiselina koja je predmet ovog rada. Polielektroliti su polimeri čiji monomeri sadrže ionizabilne kemijske grupe, koje, kad se nalaze u polarnim otapalima, disociraju, tj. otpuštaju ione. Polielektroliti, dakle, disociraju na polimer na kojem se nalaze naboji, polion, te na ione suprotnog predznaka, protuione. Elektrostatsko međudjelovanje nabijenog poliona i protuionske atmosfere su jake, a kako su polioni relativno fleksibilni međudjelovanje ima veliki utjecaj na njihovo ponašanje i oblike, konformacije koje zauzimaju. Općenito, kompleksna međudjelovanja naboja u otopini utječu na uređenje i samoorganizaciju biomakromolekula, što omogućuje pravilno izvođenje bioloških procesa poput replikacije genoma, stvaranje proteina itd.

Proučavanjem dielektričnih svojstava otopina biomakromolekula možemo dobiti određene informacije o njihovoj strukturi, a poznato je da struktura biomakromolekula određuje njihovu funkciju. Stoga se u ovom diplomskom radu mjeri dielektrični odziv takvog polielektrolitskog sustava na vanjski podražaj, promjenjivo električno polje. Predmet istraživanja su vodene otopine natrijeve soli hijaluronske kiseline (Na-HA). Hijaluronska kiselina (HA) je važan biomaterijal, nalazi se u izvanstaničnim tekućinama sisavaca, gdje služi kao jedan od glavnih strukturnih elemenata. Sastavni je dio staklovine oka, pupčane vrpce, nosne hrskavice. HA je vrlo viskozna, nalazi se u zglobovima gdje vrši ulogu podmazivanja zgloba. Prisutna je i kod nižih organizama. Upravo njena polielektrolitska priroda daje raznolika svojstva i široki spektar uloga u organizmu. Ovaj rad strukturiran je tako da se opis prostornog uređenja iona i elektrolita u otopini kao posljedica elektrostatskog međudjelovanja i utjecaja toplinskog pobuđenja sustava proučava u poglavlju 2. Tu su prikazani i teorijski modeli koji opisuju utjecaj različitih koncentracija polielektrolita i protuiona na uređenje i strukturu polielektrolita u otopini. U poglavlju 3 opisan je eksperimentalni postav niskofrekventne dielektrične spektroskopije, metode mjerjenja dielektrične funkcije uzorka te način prilagodbe mjerjenih rezultata. Poglavlje 4 sadrži detaljan opis svojstava uzorka na kojem smo vršili mjerjenja, protokole priprave kojim su se izrađivale vodene otopine Na-HA te primarne rezultate mjerjenja. Poglavlje 5 sadrži analizu podataka dobivenih mjerjenjem te diskusiju dobivenih rezulta u svjetlu teorijskih

predviđanja.

# Poglavlje 2

## Teorijski uvod

U ovom poglavlju opisane su pojave u elektrolitima kao rezultat elektrostatskih međudjelovanja i toplinskih pobuđenja sustava. U potpoglavlju 2.1 analiziraju se, pomoću Poisson-Boltzmannove jednadžbe, pojave u elektrolitima i polielektrolitima, poglavito raspodjela naboja. Tu su opisane Debyeva dužina, Bjerrumova dužina te proces kondenzacije protuiona na polionu. Poglavlje 2.2 opisuje pojavu fundamentalnih prostornih skala kojima se opisuje polurazrijedena otopina polielektrolita. Opisuje se dužina tvrdokornosti polimera i utjecaj koncentracije iona dodane soli na nju, te koreacijska dužina i veličina lanca kao funkcije koncentracije polimera i protuiona u otopini.

### 2.1 Elektrostatika i entropija: Poisson-Boltzmannova jednadžba

Distribucija iona u otopini odražava ravnotežu elektrostatskih međudjelovanja i toplinskog pobuđenja sustava. Kako bismo ilustrirali pojave u elektrolitima, uvjetovane tom ravnotežom postavit ćemo Poisson-Boltzmann jednadžbu i izvesti neka njena rješenja. Poissonova jednadžba opisuje elektrostatske doprinose energiji sistema iona dok Boltzmannova raspodjela uvažava zakone klasične statističke fizike. Poissonovom jednadžbom opisana je ovisnost električnog potencijala  $\varphi$  o raspodjeli naboja  $\rho(r)$

$$\nabla^2 \varphi(r) = -\frac{\rho(r)}{\varepsilon}, \quad (2.1)$$

gdje je  $\varepsilon$  dielektrična konstanta medija, jednaka je umnošku permitivnosti vakuuma  $\varepsilon_0$  i relativne dielektrične konstante  $\varepsilon_r$  koja ovisi o sustavu u kojem se nalazi  $\varepsilon = \varepsilon_0 \cdot \varepsilon_r$ . Poissonova jednadžba je generalizacija Coulombovog potencijala gdje je raspodjela naboja proizvoljna. Naravno, za slučaj točkastog naboja Poissonova jednadžba svodi se na Coulombov potencijal. Koordinatu položaja  $r$ , uzimamo s obzirom na nabijeni objekt koji promatramo, a to može biti npr. ion (dimenzija D=0), polielektrolit (D=1), nabijena površina proteina ili membrana (D=2). Za svaki od ovih primjera koristi se odgovarajući koordinatni sustav u kojem se promatra problem. Raspodjelu naboja možemo izraziti na više načina pa tako i pomoću koncentracija različitih iona  $\rho(r) = e(c(r)_+ + c(r)_-)$ . Za proizvoljni broj vrsta iona valencije  $z_i$  i koncentracije  $c_i$  (broj iona po  $m^3$ ) prethodna jednadžba prelazi u općeniti oblik

$$\rho(r) = e \sum_i z_i c_i(r), \quad (2.2)$$

gdje je  $e$  elementarni naboj. Veza lokalne koncentracije na položaju  $r$  i potencijalne energije  $ez_i\varphi(r)$  u istoj točki ostvarena je Boltzmannovom raspodjeljom koja ima oblik

$$c_i(r) = c_i(\infty) e^{-\frac{ez_i\varphi(r)}{k_B T}}, \quad (2.3)$$

gdje je  $k_B$  Boltzmannova konstanta,  $T$  temperatura, a  $c_i(\infty)$  koncentracija iona na udaljenosti gdje elektrostatski potencijal  $\varphi$  jednak nuli, znači na velikoj udaljenosti od nabijenog sistema od interesa koji taj potencijal stvara. Povezivanjem jednadžbi 2.2 i 2.3 dobijemo

$$\rho(r) = e \sum_i z_i c_i(\infty) e^{-\frac{ez_i\varphi(r)}{k_B T}}. \quad (2.4)$$

Uvrštavanjem 2.4 u 2.1 dobijemo Poisson Boltzmannovu (PB)jednadžbu

$$\nabla^2 \varphi(r) = -\frac{e}{\varepsilon} \sum_i z_i c_i(\infty) e^{-\frac{ez_i\varphi(r)}{k_B T}}. \quad (2.5)$$

PB jednadžba je diferencijalna jednadžba drugog reda, a opisuje električni potencijal  $\varphi(r)$  koji uzima u obzir zasjenjenje elektrostatskog međudjelovanja statistički raspodjeljenim ionima. Izračunavanjem potencijala prema relaciji 2.5 možemo izračunati raspodjelu nabroja.

### 2.1.1 Debye Hückelova aproksimacija

Kada je elektrostatsko međudjelovanje slabije u usporedbi sa toplinskim pobuđenjima možemo uzeti  $ez_i\varphi(r)/k_B T \ll 1$ . Tada izraz  $c_i(\infty)e^{-ez_i\varphi(r)/k_B T}$  možemo razviti u Taylorov red i dobijemo da je

$$\nabla^2 \varphi(r) = -\frac{e}{\varepsilon} \sum_i z_i c_i(\infty) \left( 1 - \frac{ez_i\varphi(r)}{k_B T} \right). \quad (2.6)$$

Aproksimaciju  $e^{-ez_i\varphi(r)/k_B T} = 1 - \frac{ez_i\varphi(r)}{k_B T}$  zovemo Debye Hückelovu (DH) aproksimacija. Kada je  $r$  jako velik možemo pretpostaviti da je elektrostatski potencijal na toj udaljenosti jednak nuli te vrijedi  $\sum_i ez_i c_i(\infty) = 0$ . Jed 2.6 se tada svodi na

$$\nabla^2 \varphi(r) = \frac{e^2}{\varepsilon k_B T} \sum_i z_i^2 c_i(\infty) \varphi(r). \quad (2.7)$$

Jednadžba 2.7 je linearizirana Poisson Boltzmannova jednadžba. Pojednostavimo ju supstitucijom faktora koji množi  $\varphi(r)$  na desnoj strani:

$$\kappa^2 = \frac{e^2 \sum_i z_i^2 c_i(\infty)}{\varepsilon k_B T}, \quad (2.8)$$

$$\nabla^2 \varphi(r) = \kappa^2 \varphi(r). \quad (2.9)$$

Varijabla  $\kappa^{-1}$  ima dimenziju dužine i zove se Debyeva dužina. Debyeva dužina je fundamentalna skala za ionske otopine. Na udaljenostim kraćim od  $\kappa^{-1}$  elektrostatsko

međudjelovanje je jako, a na većim udaljenostima od Debyeve dužine međudjelovanje je jako oslabljeno jer dolazi do zasjenjenja ionima dodane soli,  $\rho(r)$ . Potencijal točkastog naboja pada eksponencijalno na udaljenostima većim od  $\kappa^{-1}$ , na udaljenosti  $\kappa^{-1}$  potencijal se smanji za  $1/2.718$  od Coulombske vrijednosti. Zato  $\kappa^{-1}$  zovemo još i Debyeova dužina zasjenjenja.

Definirajmo ionsku jakost otopine  $I_s$  kao

$$I_s[1/m^3] = \frac{1}{2} \sum_i z_i^2 c_i(\infty)[1/m^3]. \quad (2.10)$$

Supstitucijom  $I_s$  u jednadžbi 2.8 dobivamo empirijski izraz za računanje Debyeve dužine

$$\kappa^{-1} = \zeta \frac{1}{\sqrt{I_s}}, \quad (2.11)$$

gdje je  $\zeta$  kontanta proporcionalnosti i jednaka  $\zeta = \sqrt{\frac{\varepsilon k_B T}{e^2 N_A}}$ .  $N_A$  je Avogadrova konstanta koja označava broj čestica po molu i iznosi  $N_A = 6.022 \cdot 10^{23}/mol$ . Nju je potrebno uvesti kako bi mogli baratati praktičnim mjerenim jedinicama za  $I_s$ :  $mM = mol/m^3 = mmol/dm^3$ . Za ione koji se nalaze u vodenim otopinama vrijedi da je  $\varepsilon = \varepsilon_r \varepsilon_0$ , gdje je  $\varepsilon_r$  dielektrična konstanta vode  $\varepsilon_{H_2O} = 78.65$ ,  $\varepsilon_0$  je permitivnost vakuum-a, i iznosi  $\varepsilon_0 = 8.858 \cdot 10^{-12} Fm^{-1}$ . Ako uzmemo  $T = 300K$  za iznos sobne temperature, Boltzmannovu konstantu  $k_B = 1.38 \cdot 10^{-23} JK^{-1}$  te elementarni naboј  $e = 1.619 \cdot 10^{-19} C$  dobijemo da je

$$\kappa^{-1}[nm] = 10 \frac{1}{\sqrt{I_s[mM]}}. \quad (2.12)$$

Debyeva dužina ovisi samo o ionskoj jakosti sustava  $I_s$ , tj. o koncentraciji i valenciji iona dodane soli. Jed. 2.12 daje brojčanu vrijednost konstante te nam omogućuje određivanje Debyeve dužine za otopine različitih ionskih jakosti.

### 2.1.2 Bjerrumova dužina

Primijetimo i da se u izrazu 2.8 javlja još jedna prostorna skala:

$$\kappa^2 = \frac{2e^2 I_s}{\varepsilon k_B T} = 8\pi l_B I_s, \quad (2.13)$$

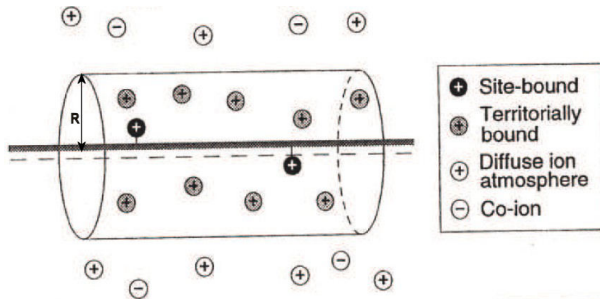
Dakle,  $l_B$  je Bjerrumova dužina, dana sa

$$l_B = e^2 / (4\pi\varepsilon k_B T). \quad (2.14)$$

Ovdje je  $e$  elementarni naboј,  $k_B T$  je toplinska energija. Bjerrumova dužina  $l_B$  jednak je razmaku između naboja na kojem je energija elektrostatskog međudjelovanja  $e^2/(4\pi\varepsilon l_B)$  jednakoj toplinskoj energiji  $k_B T$ . Bjerrumova dužina je specifična za pojedino otapalo jer, između ostalih parametara, najviše ovisi o dielektričnoj konstanti otapala. U vodi na  $25^\circ C$  je  $l_B = 7.1 \text{ \AA}$ . Smisao Bjerrumove dužine u elektrolitu jest da je to karakteristična udaljenost na kojoj dolazi do asocijacije/disocijacije iona i protuiona. Tj. za  $r < l_B$  elektrostatsko privlačenje dvaju iona nadvlada termičku agitaciju i ioni disociraju, i obrnuto. Za multivalentne ione  $l_B$  raste kao umnožak valencija iona koji međudjeluju.

### 2.1.3 Manning Oosawaina kondenzacija

Dosadašnje razmatranje rješenja PB jednadžbe, kako bi se dobila raspodjela naboja i potencijal u otopini, je bilo pojednostavljeno, zbog relativno slabog polja točkastih naboja protuionica. No, kada se u otopini nalazi polielektrolit, DH uvjet  $k_B T \gg (e z_i \varphi(r))$  više nije zadovoljen, zbog relativno velike gustoće naboja, "fiksiranih" na molekuli polielektrolita. Dolazi do kondenzacije protuiona (Sl. 2.1), što znači da je dio protuiona privučen snažnim poljem linearne raspodjele naboja na polielektrolitu. Kondenziranim protuionima gibanje je ograničeno na određeni volumen koji se prostire duž polielektrolita, i ti jednolikom raspoređeni ioni, uzduž cijelog polimera smanjuju efektivnu linearnu gustoću naboja polielektrolita. Nekondenzirani dio protuiona, tzv. slobodni protuioni, se giba u otopini kao inače kod (poli)elektrolita kod kojih se ne javlja kondenzacija.



**Slika 2.1:** Prikaz položaja iona naspram polielektrolita u ovisnosti o "vrsti" iona. *Site-bound*: kemijski nedisocirani ioni; *territorially bound*: kondenzirani ioni; *diffuse ion*: slobodni protuioni, porijeklom intrinsični, sa polimera, ali i iz dodane soli; *Co-ion*: koioni iz dodane soli.

Ova fizikalna situacija može se opisati preko PB jednadžbe. Polielektrolitski lanac promatramo kao liniju naboja sa linearnom gustoćom  $e/b$ , gdje je  $b$  razmak između jediničnih naboja na polielektrolitu [2]. Elektrostatski potencijal te linije naboja iznosi:

$$\varphi(r) = \frac{e}{2\pi\epsilon b} \ln r, \quad (2.15)$$

$r$  je udaljenost protuiona od lanca i vrijedi da je  $r$  mnogo manji od dužine lanca. Uočimo slabo logaritamsko opadanje potencijala. Takav potencijal polielektrolita slobodni ioni osjećaju na velikim udaljenostima, što onda vodi na kondenzaciju.

Broj protuiona u cilindru radiusa  $R$  (u blizini polielektrolita), Sl. 2.1, proporcionalan je partijskoj funkciji sistema koji čine protuioni i polielektroliti. U računanju te funkcije koristi se Boltzmannova raspodjela.

$$\Omega = \int_0^R e^{-e\varphi/k_B T} 2\pi r dr, \quad (2.16)$$

faktor  $2\pi r$  dolazi od integracije koordinata o kojima u ovom slučaju ne ovisi energija sistema.

Uvrstimo 2.15 u 2.16

$$\Omega = \int_0^R r^{-\frac{e^2}{2\pi\epsilon b k_B T}} 2\pi r dr = 2\pi \int_0^R r^{1-\frac{e^2}{2\pi\epsilon b k_B T}} dr = 2\pi \int_0^R r^{1-2u} dr. \quad (2.17)$$

Vidimo da ovaj integral divergira u  $r = 0$  ako je eksponent manji od  $-1$ . Uočimo da se u članu koji definira taj eksponent

$$u = \frac{e^2}{4\pi\varepsilon b k_B T}, \quad (2.18)$$

javlja omjer Bjerrumove dužine  $l_B$  i  $b$ , razmaka između jediničnih naboja na polielektrolytu.

$$u = \frac{l_B}{b}. \quad (2.19)$$

Dakle, za

$$u > 1, \quad (2.20)$$

javlja se divergencija u partijskoj funkciji, sustav ima visoku slobodnu energiju, te zbog toga dolazi do snažnog privlačenja protuiona sa polielektrolitom - kondenzacije. Protuioni okruže polielektrolit tako da zasjene njegov naboj i time efektivno smanje gustoću naboja, za faktor  $r = 1 - 1/u$ . Manning je predložio da se kondenzacija iona javlja sve dok  $u$  ne padne na vrijednost 1. Tj. efektivnim smanjenjem gustoće naboja poveća se efektivni razmak među nabolima do iznosa  $l_B$  (kad su u pitanju monovalentni ioni). Kondenzacija protuiona smanjuje linearnu gustoću naboja polielektrolita, ali ne ovisi o vrsti iona već o njegovom nabiju i neovisna je o vrsti soli dodanoj u otopini. Kondenzacija je specifična za cilindrično simetrične sisteme, zbog njihove logaritamske ovisnosti potencijala. Udaljenost naboja u velikom broju polielektrolita je manja od  $l_B = 7.1\text{\AA}$  stoga je kondenzacija protuiona vrlo česta pojava. U slučaju DNA  $b = 1.7\text{\AA}$ ,  $u = 4.2$ .

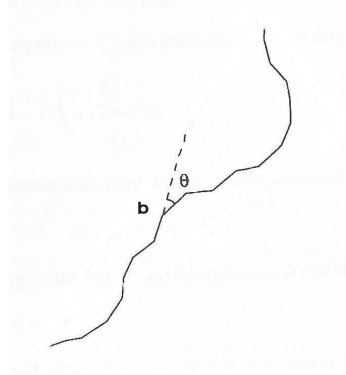
## 2.2 Fundamentalne prostorne skale

### 2.2.1 Dužina tvrdokornosti

Osim skala kao što su Bjerrumova dužina i Debyeva dužina, koje su svojstvo elektrolita općenito, kod polielektrolita nalazimo i druge fundamentalne skale. Kako su polielektroliti sastavljeni kao dugi lanci monomera do izražaja dolazi njihova krutost, tj. savitljivost. Mjera mehaničke savitljivosti polimera općenito je dužina tvrdokornosti  $L_p$ . Dužina tvrdokornosti je granica između krutog i savitljivog lanca, to je udaljenost (duž samog lanca) na kojoj pomaci dijela polimera više bitno ne utječu, dakle, nisu korelirani s pomakom udaljenog ostatka lanca, [1]. Drugim riječima, dužina tvrdokornosti se definira kao najmanja dužina nakon koje je izgubljena informacija o korelaciji usmjerjenja dijelova polimera u smjeru tangente na polimer. Definirajmo kut  $\theta$  između vektora tangente na polimer u ishodištu i tangente na polimer na udaljenosti  $L$  od ishodišta, Sl.2.2. Očekivana vrijednost kosinusa kuta pada eksponencijalno sa udaljenosti,

$$\langle \cos \theta \rangle = e^{-L/L_p} \quad (2.21)$$

Ako je polimer kraći od  $L_p$  polimer je krut te se ponaša kao štap, a ukoliko je veći od  $L_p$  polimer je savitljiv te se može opisati statistički poput nasumičnog hoda. Osnovni doprinos  $L_p$  je posljedica strukture samog polimera. No kod polielektrolita elektrostatsko međudjelovanje naboja samog polielektrolitskog lanca stvaraju dodatni doprinos krutosti. Opis su dali nezavisno Odijk [5] te zajedno Skolnick i Fixman. Prema toj teoriji  $L_p$  se



**Slika 2.2:** Polimer sastavljen od  $N$  monomera duljine  $b$ .  $\theta$  je kut između tangenti dvaju monomera.

sastoji od dva doprinosa, strukturalni  $L_0$  doprinos i doprinos dugodosežnih elektrostatskih međudjelovanja  $L_e$

$$L_p = L_0 + L_e = L_0 + l_B / (2b\kappa)^2. \quad (2.22)$$

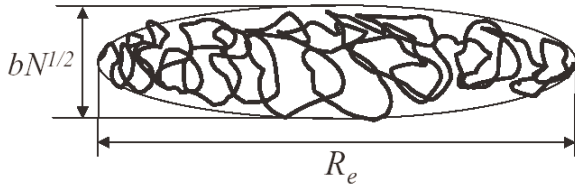
Primijetimo da elektrostatski doprinos bitno ovisi o ionskoj jakosti otopine u kojoj se polielektrolit nalazi. Ioni dodane soli visokih koncentracija zasjene naboje na polielektrolitu pa u izrazu za  $L_p$  ostaje samo strukturalni doprinos  $L_0$ , dok  $L_e$  pada s povećanjem  $I_s$ , tj. povećanjem koncentracije iona dodane soli povećava se fleksibilnost polielektroličta. U slučaju kada nema dodanih iona u otopini ovaj model se ne može primjeniti, jer u tom slučaju polionti međusobno stvaraju zasjenjenje. Ova tema je intenzivno eksperimentalno istraživana kod DNA. Tj. teorijski OSF model za dužinu tvrdokornosti DNA,  $L_p[\text{\AA}] = L_0 + 0.324I_s^{-1}[M]$  potvrđen je množinom različitih tehnika, u širokom rasponu dodane soli. [3].

### 2.2.2 Razrijedene polielektrolitske otopine

Otopina polielektrolita sastoji se od nasumičnog rasporeda lanaca, a njihov međusobni odnos ovisi o njihovoj koncentraciji, kao i koncentraciji dodane soli. Pri niskoj koncentraciji polielektrolita lanci su međusobno udaljeni i ne preklapaju se. Takva otopina naziva se razrijedena otopina. Slobodni lanac polielektrolita u razrijedenoj vodenoj otopini (bez dodane soli), dakle u situaciji opisanoj PB jednadžbom može zauzeti vrlo veliki broj konformacija, tj. oblik lanca nije unaprijed definiran i mijenja se u vremenu. Zapravo, takav lanac može se pokušati opisati jedino na nivou veličine lanca, tj. dužine preko koje se lanac proteže u prostoru. Napomenimo da će takva srednja dužina lanca biti manja od dužine konture  $L$  samog polimera, tj. dužine koju bi polielektrolit imao u potpuno rastegnutom stanju, a koja je jednaka umnošku broja monomera  $N$  (stupanj polimerizacije) i duljine jednog monomera  $b$ ,  $L = bN$ . U ovom, Floryevom modelu [1], [2] polimer bez međudjelovanja kratkog dosega se opisuje kao nasumični, savijeni lanac (coil) sa zahtjevom da njegova veličina  $R_e$  minimizira slobodnu energiju. Slobodna energija takvoga lanca podijeljena je u dva doprinosa. Prvi doprinos, strukturalni, je elastični

$$E_{stru}(R_e) \approx k_B T \frac{R_e^2}{b^2 N}, \quad (2.23)$$

gdje su  $R_e$  i  $bN^{1/2}$  dimenzije elipsoida prema slici 2.3. Uz prepostavku zanemarivog međudjelovanja monomera, u strukturnom dijelu slobodne energije još je pretpostavljena uniformna koncentracija monomera u cijelom volumenu lanca. Kad ne bi bilo elektrostatskog djelovanja oblik bi zapravo bio sferičan  $R_e = bN^{1/2}$ . No, upravo elektrostatsko međudjelovanje izdužuje lanac u jednom smjeru te on poprima oblik elipsoida, kao na Slici 2.3.



**Slika 2.3:** Shematski prikaz polielektrolitskog lanca izduženog uslijed djelovanja elektrostatskog međudjelovanja.

Za elipsoid sa dimenzijama  $R_e$  i  $bN^{1/2}$ , količinom naboja  $e f N$ , gdje je  $f$  udio nabijenih monomera i u našem slučaju je  $f = 1$  te uniformnom distribucijom naboja, drugi, elektrostatski, doprinos slobodnoj energiji iznosi

$$\frac{E_{elektro}(R_e)}{k_B T} \approx \frac{l_B N^2}{R_e} \ln \left( \frac{R_e}{bN^{1/2}} \right). \quad (2.24)$$

Iz jednadžbi 2.23 i 2.24 vidimo da strukturni dio slobodne energije raste povećanjem dužine elipsoida  $R_e$ , a elektrostatski se smanjuje povećanjem vrijednosti  $R_e$ . Stoga očekujemo da će za neku vrijednost  $R_e$  ukupna slobodna energija koja je zbroj ta dva dijela imati minimum. To se događa za vrijednost dužine lanca

$$R_e^F \approx bNu^{1/3} [\ln(eNu^{2/3})]^{1/3}, \quad (2.25)$$

gdje je  $u$  definiran prema relaciji 2.19. Vidimo da je u razrijeđenoj otopini dužina lanca manja od dužine konture polielektrolita  $bN$ , no sličnog je reda veličine, a mogu biti čak i podjednake za polielektrolite sa velikom linearom gustoćom naboja gdje je  $u \approx 1$  (vidi Jed.2.18).

### 2.2.3 Polurazrijedene polielektrolitske otopine

#### Koncentracija preklapanja

Ako je koncentracija polielektrolita mala s obzirom na volumen polielektrolita lanci su toliko udaljeni jedni od drugih da međusobno ne utječu jedni na druge, te svaki oko sebe ima svoj oblak protuionica. Međutim ako je koncentracija polielektrolita toliko velika da dolazi do preklapanja lanaca javljaju se nove prostorne skale, a otopina se naziva polurazrijedenom. Koncentraciju na kojoj dolazi do preklapanja lanaca prvi je izveo de Gennes [4] za nenabijene polimere, a kasnije su je izveli Dobrynin i suradnici [1] za nabijene polimere-poluelektrolite.

Do preklapanja lanaca dolazi ako je udaljenost među lancima usporediva s njihovom veličinom  $R_e^F$ , kao što je izvedeno u prethodnom potpoglavlju. Za lanac neuniformnog

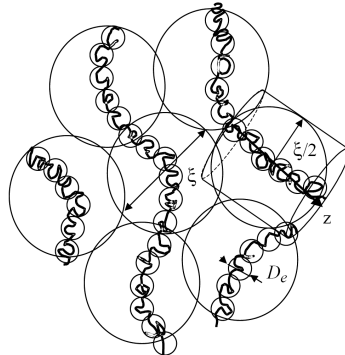
oblika u otopini dodane soli koncentracija preklapanja je dana sa

$$c^* \approx \frac{N}{(R_e^F)^3} \approx b^{-3} u^{-1} N^{-2} \ln^{-1}(N/g_e), \quad (2.26)$$

gdje je  $g_e = eu^{-2/3}$  broj monomera u elektrostatskom volumenu. Elektrostatski volumen zatvara onaj segment lanca na čiju strukturu ne utječe elektrostatsko međudjelovanje, dakle  $N/g_e$  je broj takvih segmenata lanca. Ovim izrazom je opisana situacija gdje se unutar volumena  $(R_e^F)^3$  nalazi upravo jedan lanac sa  $N$  monomera, i jednostavno se izračuna odgovarajuća koncentracija  $c^*$ .

### Korelacijska dužina i veličina lanca

Važna skala za otopine koncentracija većih od koncentracije preklapanja,  $c > c^*$ , je korelacijska dužina  $\xi$ . Tu dužinu možemo razumjeti kao prosječnu veličinu mreže polielektrola u polurazrijedenoj otopini.  $\xi$  dakle opisuje strukturu mnoštva polielektrolskih lanaca koji se nalaze u otopini i određuje korelacijski volumen mreže polielektrola Sl. 2.4.



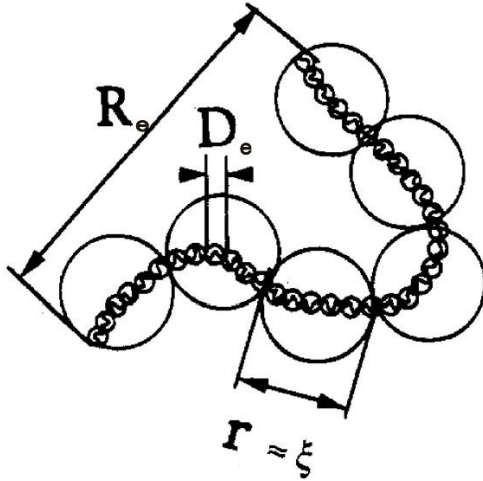
**Slika 2.4:** Shematski prikaz polurazrijedene otopine polielektrola

Korelacijsku dužinu prvi je uveo DeGennes za nenabijene polimere, a kasnije su za nabijene polimere u otopinama izvod dali Dobrynin i suradnici [4], [1]. DeGennes je do  $\xi$  došao pomoću pretpostavki da za dugačke lance, tj. za lance sa velikim brojem monomera  $N$  svojstva polurazrijedene otopine polielektrola ne ovise o stupnju polimerizacije, broju monomera  $N$ , sve dok je njihov broj znatno veći od broja monomera u korelacijskom volumenu. Druga je pretpostavka da je kod  $c^*$ , koncentracije preklapanja, korelacijska dužina usporediva sa veličinom lanačne izračunatog razmaka za razrijedene otopine, tj. s  $\xi \sim R_e(c^*)$ . Primijetimo da je veličina lanačne u razrijedenoj otopini proporcionalna s brojem monomera  $N$ , tj.  $R_e(c^*) \sim Nb$ . Na kraju pretpostavimo da u polurazrijedjenim otopinama vrijedi zakon skaliranja, tj. da  $\xi$  treba ovisiti o  $c$  s nekim eksponentom:

$$\xi(c) \sim R_e \left( \frac{c^*}{c} \right)^m. \quad (2.27)$$

Kako je  $c^* \sim 1/N^2$ , a  $R_e \sim N$  vrijedi da je

$$\xi(c) \sim N \left( \frac{1}{N^2} \right)^m \left( \frac{1}{c} \right)^m. \quad (2.28)$$



**Slika 2.5:** Polielektrolitski lanac u polurazrijedenoj otopini bez dodane soli. Lanac je slučajni hod korelacijskih volumena od kojih se svaki sastoji od niza elektrostatskih volumena veličine  $D_e$ .

Da bi uvjet, da  $\xi$  ne ovisi o stupnju polimerizacije  $N$ , bio zadovoljen, eksponent mora biti  $m = 1/2$  pa tako dobivamo da je korelacijska dužina proporcionalna koncentraciji prema zakonu potencije

$$\xi \sim c^{-1/2}. \quad (2.29)$$

Veličina  $\xi$  opada s povećanjem koncentracije polielektrolita i to počevši od vrijednosti za veličinu lanca u razrijedenoj otopini  $R_e$  do veličine jednog monomera za najveće koncentracije [4].

Broj monomera  $g$  koji se nalazi unutar korelacijskog volumena proporcionalan je s tim volumenom, a i s koncentracijom polielektrolita, tj.  $g \sim c\xi^3$ . Niz korelacijskih volumena definira konformaciju lanaca. Takav lanac sastoji se od  $N/g$  segmenata, a veličina takvog lanca je (Sl. 2.5)

$$R_e^2(c) \simeq \frac{N}{g} \xi^2. \quad (2.30)$$

Tako slijedi da je

$$R_e(c) \simeq N^{1/2} g^{-1/2} \xi. \quad (2.31)$$

Kako je  $g \sim c\xi^3$  vrijedi da je

$$R_e(c) \simeq N^{1/2} c^{-1/2} \xi^{-3/2} \xi \simeq N^{1/2} c^{-1/2} \xi^{-1/2}, \quad (2.32)$$

Uvrštavanjem u Jed. 2.32  $\xi \sim c^{-1/2}$  dobijemo da je veličina lanca

$$R_e(c) \simeq N^{1/2} c^{-1/4}. \quad (2.33)$$

Vidimo da se lanac skuplja povećanjem koncentracije polimera.

Dok je DeGennes izveo  $\xi$  za polimere općenito, dotle su Dobrynin i suradnici [4], [1] krenuli od pretpostavke da je prosječni naboj korelacijskog volumena  $\xi^3$  jednak nuli jer unutar njega nalazi jednak broj koiona i protuionova. Zbog te neutralnosti, međudjelovanje

između korelacijskih volumena  $\xi^3$  može se zanemariti u nultoj aproksimaciji. Interpretacija dužine  $\xi$  je da je polielektrolit ukrućen elektrostatskim međudjelovanjem za volumene manje od  $\xi^3$ , dok se za veće volumene ponaša kao nasumični hod niza korelacijskih volumena  $\xi^3$ . Ovisnost dužina  $\xi$  o koncentraciji polielektrolita dobijemo ako volumene  $\xi^3$  aproksimiramo čelijom radiusa  $\xi/2$  i dužine  $\xi$  za koju možemo pretpostaviti da je cilindrično simetrična s obzirom na lanac koji se nalazi na osi cilindra 2.4.

Dakle, ukupna energija po monomeru je

$$\frac{E_p}{k_B T} \approx \frac{l_B g}{D_e} \ln\left(\frac{\xi}{D_e}\right) - l_B c \xi^2 + \frac{D_e^2}{b^2 g^2} \quad (2.34)$$

gdje prvi član opisuje (po analogiji s Jed. 2.24) elektrostatsko međudjelovanje monomera s ostatom lanca (odbojne je prirode, i zato povećava ukupnu energiju) unutar cilindra, a drugi član opisuje elektrostatsko međudjelovanje monomera s protuionima pozadine (privlače se pa taj doprinos smanjuje ukupnu energiju sustava). Treći član izведен je po analogiji sa Jed. 2.23 i predstavlja elastični doprinos od rastezanja lanca.

Ovaj izraz se minimizira po korelacijskoj dužini  $\xi$  i uz pretpostavku da je veličina elektrostatskog volumena proporcionalna s veličinom monomera i njihovim brojem ( $D_e^2 \sim b^2 g$ ). U odnosu na DeGennesov rezultat ovaj izvod daje samo manje korekcije, tj. korelacijska dužina  $\xi$  polurazrijedjenog sustava je

$$\xi \sim c^{-1/2} \ln^{-1/6} \left( \frac{e c_b}{c} \right) \sim c^{-1/2}, \quad (2.35)$$

gdje je  $c_b$  koncentracija polielektrolita na kojoj se elektrostatski volumeni počinju preklapati. Fizikalni opis polurazrijedene otopine elektrolita je jednostavan: na skalamu manjim od dužine  $\xi$  polielektrolit je ukrućen elektrostatskim međudjelovanjem, a za skale veće od  $\xi$  ponaša se kao nekorelirani, Gaussov lanac, tj. nasumični hod nanizanih korelacijskih volumena  $\xi^3$ , broj monomera  $g$  unutar  $\xi^3$  je  $g \approx c \xi^3$ . Veličina takvog lanca dana je sa Jed. 2.33.

Zaključimo da u polurazrijedjenim otopinama veličina lanca ovisi i o koncentraciji polielektrolita, a ne samo o njegovoj dužini (broju monomera). Znači, međudjelovanja polielektrolitskih lanaca prisutna u polurazrijedjenim otopinama, generiraju dvije prostorne skale, koje karakteriziraju konformacije polielektrolita u otopini i samu strukturu otopine: veličinu lanca  $R$  i korelacijsku dužinu  $\xi$ .

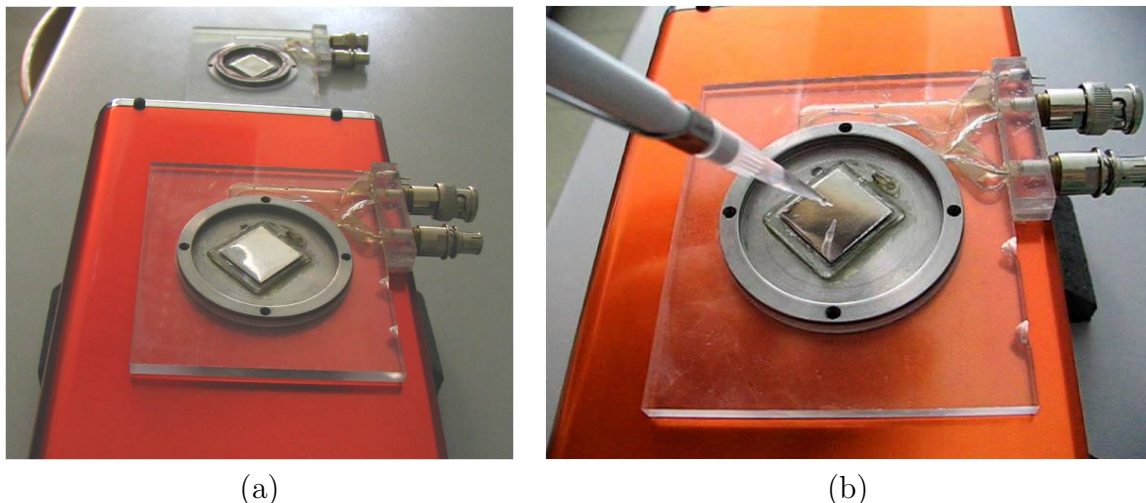
# Poglavlje 3

## Niskofrekventna dielektrična spektroskopija

### 3.1 Mjerni postav

Niskofrekventnom dielektričnom spektroskopijom (*NFDS*) dobivaju se podaci o kompleksnoj dielektričnoj funkciji materijala koji se istražuje. Mjerni postav kojim dobivamo te podatke sastoji se od mjerne komore te analizatora impedancije Agilent 4294A kojim se mjeri frekventna ovisnost vodljivosti i kapaciteta uzorka.

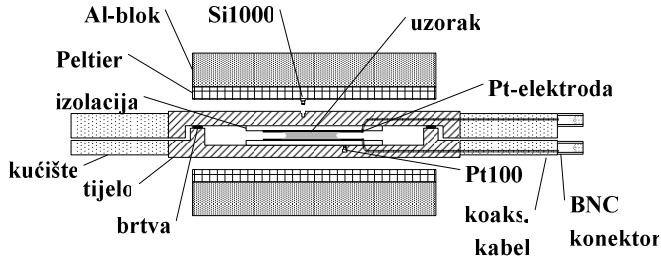
Komora Sl. 3.1(a) se sastoji od dvodjelnog čeličnog kućišta u kojem su smještene platinske elektrode koje služe kao električni kontakt s uzorkom Sl. 3.1(b).



Slika 3.1: (a) Rasklopljena mjerna komora, (b) stavljanje uzorka u komoru

Funkcija kućišta je zatvaranje uzorka u mali volumen tako da se smanji hlapljenje, električno oklopi elektrode i termički ih usidri u relativno velikoj masi kućišta, unutar kojeg je temperatura ujednačena. Za stabilizaciju temperature (u intervalu  $-10^{\circ}C$  do  $+60^{\circ}C$ ) koriste se Peltier elementi, silicijeve diode Si-1000 i Pt-100 termometar (Sl. 3.2). Peltierovi elementi su poluvodički elementi, služe kao toplinske pumpe, a nalaze se na vanjskoj strani kućišta. Ovisno o smjeru struje koja prolazi kroz njih griju ili hlađe

kućište, pumpaju toplinu u komoru ili iz nje. Da bi Peltier elementi adekvatno pumpali toplinu, potreban im je vanjski spremnik topline velikog kapaciteta čija temperatura ne ovisi o pumpanju topline iz komore. U tu svrhu koriste se aluminijski blokovi pričvršćeni na Peltier elemente, stalnu temperaturu aluminijskih blokova omogućuje stalni protok vode.

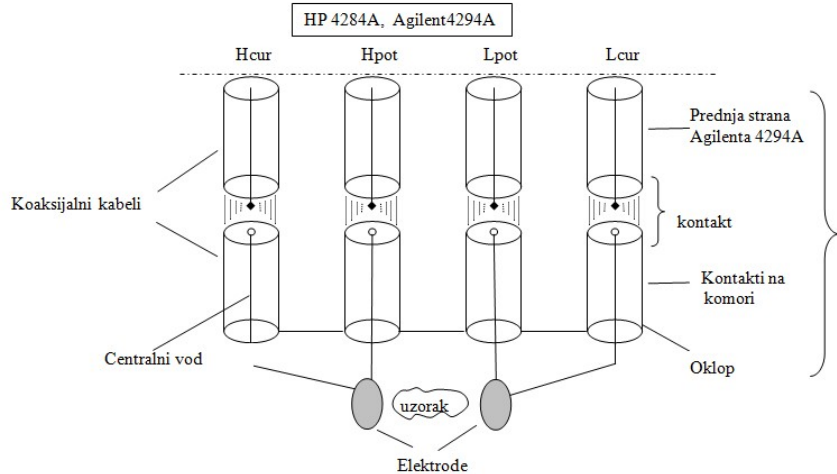


**Slika 3.2:** Prikaz komore za NFDS

Željena temperatura postavlja se potenciometrom na stabilizatoru temperature *MVTC 402*. Stabilizator uspoređuje napon na potenciometru s padom napona na Si-diodi, koja se nalazi na kućištu, a služi kao otporni termometar. Ovisno o predznaku razlike napona, *MVTC 402* šalje struju grijanja ili hlađenja na Peltier elemente. Kontrola i mjerjenje temperature unutar kućišta vrši se *Pt – 100* termometrom koji se nalazi u blizini elektroda, Sl. 3.2. Raspon volumena uzorka koji se mjeri može biti u rasponu 50-200 $\mu\text{L}$ , no uobičajeno se radi sa 100 $\mu\text{L}$ . Mjerna komora omogućava mjerjenje kompleksne vodljivosti s reproducibilnošću od 0.8% [12] u mjernom rasponu od 1.5-2000 $\mu\text{S}/\text{cm}$ . Male ac amplitude od 50 mV su korištene za istraživanje odgovora  $\text{Na}^+ - \text{HA}$  u linearnom režimu nakon što smo se uvjerili da su rezultati podjednaki za ac pobudu u rasponu od 20–500 mV. Najniže ac amplitude su izbjegavane zbog prevelikog šuma i zbog toga potrebnog prevelikog (nepraktično dugotrajnog) usrednjavanja. Konstanta komore je  $l/S = 0.1042 \pm 0.0008 \text{ cm}^{-1}$  gdje je  $S = 0.98 \text{ cm}^2$  efektivna kontaktna površina elektrode koja odgovara uzorku volumena 100  $\mu\text{L}$  i  $l = 0.1021 \pm 0.0001 \text{ cm}$  je udaljenost među elektrodama. Konstanta komore određena je mjeranjem realnog dijela provodnosti na 100 kHz standarnih uzorka KCl-a od 0.01 i 0.0005 M (nabavljenih od tvrtke Mettler-Toledo). Dodatna provjera je bilo i mjerjenje kapaciteta komore kada je prazna i kada sadrži kapljicu od 100  $\mu\text{L}$  čiste vode. Iz razlike kapaciteta i poznate vrijednosti dielektrične konstante čiste vode  $\epsilon_{\text{H}_2\text{O}} = 78.65$  [8] dobiven je rezultat za konstantu komore koji odgovara gornjoj vrijednosti dobivenoj mjeranjem provodnosti.

Mjerno područje analizatora impedancije Agilent 4294A je 40Hz-110MHz. Pri mjerenu pojedine točke koristi se uski filter (oznaka BW=5) koji izdvaja samo trenutnu mjernu frekvenciju, nakon relativno dugog čekanja da se ustali sinusna modulacija na pojedinoj frekvenciji. Ovo je povoljnije od brzog mjerjenja sa BW=1 i višestrukog usrednjavanja na jednoj točki, jer efektivno se dobiva manji šum. Svaki prolaz kroz frekventni raspon mjerjenja (*sweep*) ponavlja se tri puta i ta se tri prolaza usrednje, kako bi se poništile eventualne varijacije temperature tokom mjerjenja. Ukupno vrijeme mjerjenja po gore opisanoj proceduri je 60 s [7]. Mjerne vrijednosti su vodljivost  $G_{\text{exp}}(\omega)$  i kapacitet  $C_{\text{exp}}(\omega)$ , gdje je  $\omega = 2\pi\nu$ , kružna frekvencija. Komora je s 4 koaksijalna kabela BNC konektorima direktno spojena na Agilent 4294A, gdje su BNC konektori označeni  $L_{\text{CUR}}$  (strujni minus),  $L_{\text{POT}}$

(naponski minus),  $H_{CUR}$  (strujni plus),  $H_{POT}$  (naponski plus). Povratna struja teče kroz vanjski vodič koaksijalnog kabela. Centralni vodovi BNC konektora provučeni su kroz tijelo komore i spojeni u parovima na Pt-elektrodi ( $L_{CUR}$  sa  $L_{POT}$ , te  $H_{CUR}$  sa  $H_{POT}$ ), Sl.3.3 Kako su koaksijalni kablovi spojeni čim bliže Pt-elektrodi, ploče elektroda su jedini izvor dodatne impedancije [11, 12, 13].



**Slika 3.3:** Shematski prikaz spajanja elektroda komore i mjernog uređaja Agilenta 4294A pomoću četri koaksijalna kabela. Prikazana shema omogućava uklanjanje svih parazitskih impedancija uzrokovanih kabelima i konektorima.

## 3.2 Utjecaj polarizacije elektroda na NFDS

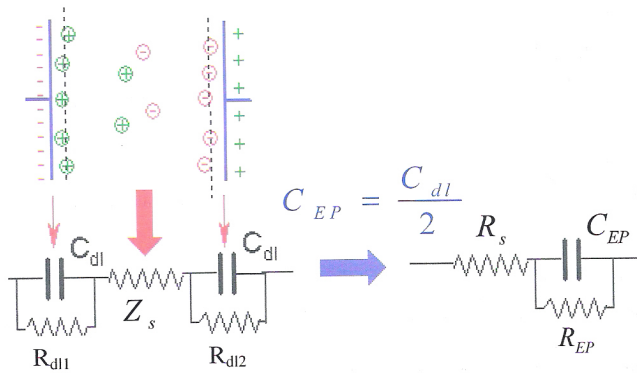
Na mjerjenja NFDS vodljivih otopina utječe polarizacija elektroda. Polarizacija elektroda je učinak kod kojeg dolazi do nakupljanja naboja otopine u blizini elektroda. Takav električni dvosloj utječe na raspored ostalih naboja u otopini, a time utječe na svojstva uzorka. Polarizaciju elektroda možemo aproksimirati kao impedanciju površine serijski spojenu s impedancijom uzorka Sl. 3.4, u takvom modelu su:

$$C = C_s + \frac{1}{\omega^2 R^2 C_{EP}}, \quad (3.1)$$

$$R = R_s + R_{EP} + R_s \omega^2 R^2 C^2, \quad (3.2)$$

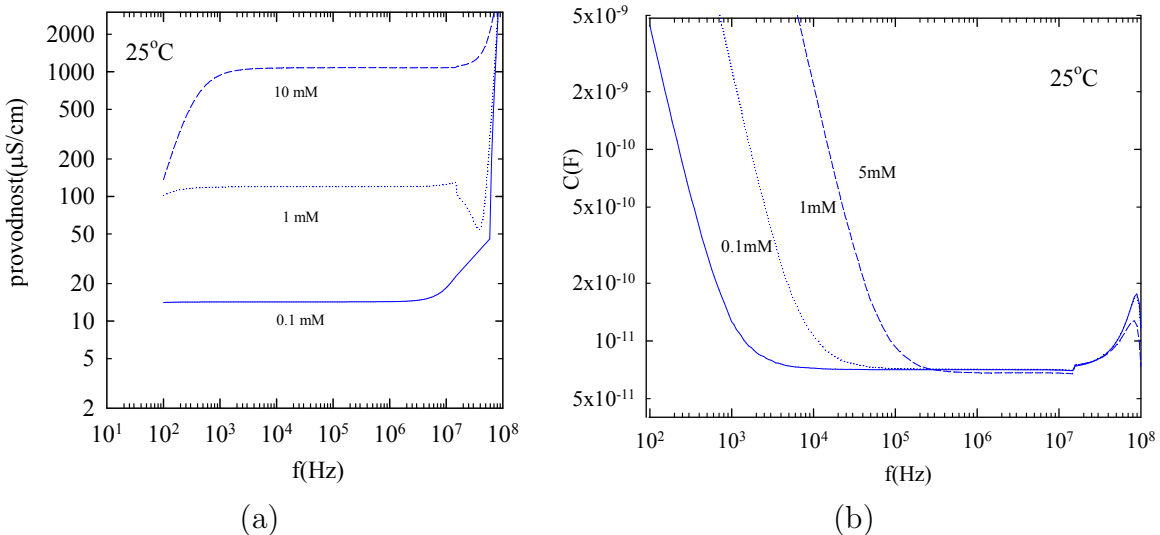
gdje su  $C_s$  i  $R_s$  kapacitet i otpor uzorka, a  $C_{EP}$  i  $R_{EP}$  kapacitet i otpor dvosloja.

Prema izrazu 3.1 vidimo da član polarizacije elektroda opada s povećanjem frekvencije. Naime, na nižim frekvencijama vrijeme relaksacije naboja otopine je sumjerljivo frekvenciji promjene napona na elektrodama pa se naboji stignu preraspodijeliti s promjenom napona. Povećanjem frekvencije promjene napona naboji nastoje promijeniti položaj sukladno naponu, ali ne uspijevaju u potpunosti. Dalnjim povećanjem frekvencije naboji ne stižu mjenjati položaj, titraju na mjestu. Iz tog je razloga polarizacija elektroda izraženija na niskim frekvencijama Sl. 3.5. Polarizacija elektroda ovisi o temperaturi, veličini razmaka među elektrodama, ovisi o svojstvima elektroda, koncentraciji



**Slika 3.4:** Električni krug za čeliju koja se sastoji od dvije elektrode i otopine između elektroda.  $C_{dl}$  je kapacitet dvosloja,  $R_{dl}$  je otpor dvosloja. Kapacitet  $C_{dl}$  i otpor  $R_{dl}$  dvosloja mogu se prikazati kao kapacitet  $C_{EP}$  i otpor  $R_{EP}$  u paraleli. Otpor mjerene otopine označen je sa  $R_s$ . Ukupna impedancija sustava može se zapisati kao zbroj impedancija uzorka i dvosloja.

i vrsti iona. Na slici 3.5 (b) vidimo da na niskim frekvencijama postoji doprinos mjenjenjem kapacitetu koji nestaje povećanjem frekvencije, također je vidljivo da taj doprinos raste s povećanjem koncentracije iona. Polarizacija je različita za otopine s čistom vodom, otopine s dodanom soli, ili za otopine polielektrolita s dodanom soli.



**Slika 3.5:** Frekventna ovisnost vodljivosti (a) i kapaciteta (b) različitih koncentracija vodenih otopina NaCl. Vidljivo je povećanje utjecaja elektroda na nižim frekvencijama usporedno s povećanjem ionske jakosti otopine.

Eliminacija polarizacija elektroda moguća je različitim metodama.

Jednu skupinu čine metode koje nastoje eliminirati ili smanjiti polarizaciju elektroda. U tu skupinu spada metoda četiri elektrode. Metoda četiri elektrode, uz postojeće dvije

elektrode, koristi dodatne dvije koje se nalaze u uzorku, a dovoljno su daleko od dvosloja tako da je polje homogeno. Dodatne elektrode moraju biti beskonačne impedancije tako da nema toka struje kroz njih pa se ni naboji ne mogu na njih nakupljati. Mjeranjem razlike napona na dodatnim elektrodama i struje koja teče vanjskim elektrodama dobiju se električni parametri uzorka, no ta metoda nije prilagođena za rad s analizatorima impedancije i ne može doći do MHz područja frekvencije. Druga metoda koristi povećanje efektivne površine elektrode da smanji utjecaj polarizacije. Kako je kapacitet općenito proporcionalan s površinom elektrode, točnije  $C = \epsilon_0 \epsilon_r \frac{s}{l}$ , povećanjem površine elektroda povećao bi se i  $C_{EP}$ , a time bi se smanjio doprinos polarizacije elektroda mjerom kapacitetu, vidi Jed. 3.1. Efektivne površine elektroda mogu se značajno povećati depozicijom koloidne platine na platinske elektrode. Dobivaju se tzv. crne platinske elektrode.

Drugu skupinu čine metode koje nastoje korigirati mjereni spektar, a uzimaju u obzir impedanciju površine. U tu skupinu spada metoda oduzimanja koju koristimo u obradi podataka. Metodom oduzimanja pozadine mjeri uredaj, komoru, "kalibriramo" određivanjem vodljivosti referentne otopine. Tada od ukupne, mjerene, vodljivosti istraživanog uzorka oduzmemo vodljivost te referentne otopine. Pretpostavlja se da su učinci na elektrodama jednaki za referentnu otopinu i za uzorak i k tome aditivni, iako ne u potpunosti jer nije poznat točan mehanizam stvaranja polarizacije na elektrodama. Druga takva metoda je mjerjenje otopine pri nekoliko različitim razmaka elektroda. Ova metoda koristi činjenicu da kapacitet uzorka  $C_S$  ovisi o razmaku elektroda, a impedancija polarizacije ne ovisi. Mjeranjem na više različitih razmaka elektroda možemo izračunati (dvije jednadžbe s dvije nepoznanice), i odvojiti doprinos polarizacije elektroda od mjerjenja. Ponovimo, mehanizam nastanka polarizacije elektroda još nije u potpunosti poznat pa tako niti jedna metoda ne uklanja sav doprinos polarizacije. Jedan je od usputnih zadataka ovog rada bio unapređivanje tehničke spoznaje o mogućnostima proširenja frekventnog opsega mjerjenja s našom komorom. Isprobana je metoda s promjenom razmaka elektroda no, za sad se čini da ne daje veći opseg od našeg dosadašnjeg pristupa. Kako ta metoda zahtijeva podvostručenje broja mjerjenja, zasad ju ne planiramo uvesti.

### 3.3 Obrada podataka

Za fizikalni opis sustava koji mjerimo potrebno je povezati dielektričnu funkciju mjerennog materijala s mjerom frekventnom ovisnošću admitancije. Admitancija se sastoji od realne i imaginarnе komponente:

$$Y(\omega) = G(\omega) + iB(\omega), \quad (3.3)$$

$G(\omega)$  je realna komponenta admitancije ili vodljivost, a imaginarna  $B(\omega)$  se obično iskazuje pomoću efektivnog kapaciteta  $C(\omega) = B(\omega)/\omega$ . Veza admitancije  $Y(\omega)$  i kompleksne provodnosti materijala  $\sigma(\omega)$  dana je izrazom

$$\sigma(\omega) = \frac{l}{S} Y(\omega), \quad (3.4)$$

gdje je  $l$  udaljenost između elektroda, a  $S$  površina elektroda. Kompleksna provodnost ima realni i imaginarni doprinos

$$\sigma(\omega) = \sigma_0(\omega) + i\omega\varepsilon_0\varepsilon_r(\omega) \quad (3.5)$$

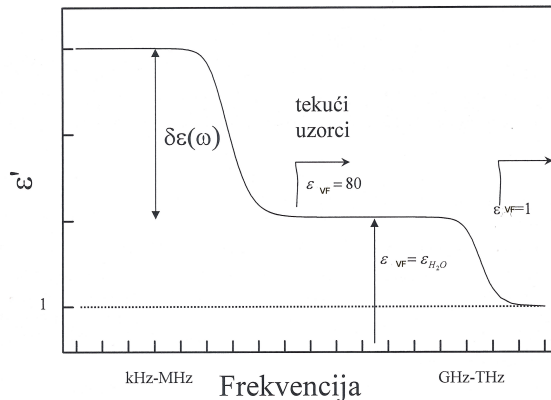
gdje je  $\varepsilon_0$  je permitivnost vakuma, a  $\varepsilon_r(\omega)$  dielektrična konstanta materijala. Prethodna relacija izvedena je iz Maxwellovih jednadžbi [12]. Realni dio provodnosti predstavlja slobodne nosioce naboja u materijalu, a imaginarni polarizabilnost sistema.

Mjerenjem provodnosti sustava  $\sigma_{mj}$  osim vodljivosti uzorka  $\sigma_{uz}(\omega)$ , u našem slučaju iona i polionia u otopini, mjerimo i doprinose uzrokovane parazitskom impedancijom mjernog postava  $\sigma_p$ , gdje bitan doprinos čini polarizacija elektroda. Ukupna provodnost sustava dana je izrazom

$$\sigma_{mj}(\omega) = \sigma_{uz}(\omega) + \sigma_p(\omega) = \sigma_p(\omega) + \sigma_0(\omega) + i\omega\varepsilon_0\varepsilon_{uz}(\omega) \quad (3.6)$$

Dielektrična funkcija uzorka  $\varepsilon_{uz}(\omega)$  ima dva doprinosa, slika 3.6. Doprinos  $\delta\varepsilon(\omega)$  dolazi od linearног odziva sustava na frekventnu pobudu, a  $\varepsilon_{VF}$  dolazi od doprinosa na višim frekvencijama koje su izvan mjernog područja. Dakle,

$$\varepsilon_{uzs}(\omega) = \delta\varepsilon(\omega) + \varepsilon_{VF}. \quad (3.7)$$



**Slika 3.6:** Realni dio dielektrične funkcije uzorka  $\varepsilon_{mj}(\omega)$  pokazuje puna crta. Vrijednost 1, doprinos vakuma,  $\varepsilon_0 = 8.858 \cdot 10^{-12} C^2 J^{-1} m^{-1}$  prikazuje točkasta crta. Prokazani su doprinosi dielektričnoj funkciji od istraživanog sistema  $\delta\varepsilon(\omega)$  te doprinos pozadine, u ovom slučaju doprinos vode, a to je dielektrična konstanta vode  $\varepsilon_{H_2O} = 80$ . Vrijednost doprinosa pozadine  $\varepsilon_{VF}$ , može biti različita, ovisno o gornjoj granici frekventnog prozora.

Eliminaciju parazitskih doprinosa vršimo metodom oduzimanja. Mjerimo provodnost pozadine\*  $\sigma_{poz}$  i to mjereći provodnost referentnog materijala, materijala poznate provodnosti.

$$\sigma_{poz}(\omega) = \sigma_p(\omega) + \sigma_{0poz}(\omega) + i\omega\varepsilon_0\varepsilon_{poz}(\omega) \quad (3.8)$$

Kako mjerimo odzive vodenih otopina različitih sistema, za mjerenje pozadine najčešće se koriste vodene otopine NaCl ili KCl pa je  $\sigma_{0poz}$  vodljivost iona tih jednostavnijih elektrolita, a  $\varepsilon_{poz} = \varepsilon_{H_2O} \approx 80$ . Također, prilikom određivanja pozadine treba zadovoljiti

\*Pozadinu- čini svaki doprinos mjerenu koji dolazi od svih elemenata izvan samog sistema koji se istražuje.

uvjet da je  $\sigma_{0poz}(\omega) = \sigma_0(\omega)$ , tj. jednako provodnosti slobodnih iona uzorka koji mjerimo. Oduzimanjem mjerena pozadine od mjerena vodljivosti materijala dobijemo

$$\sigma_{mj}(\omega) - \sigma_{poz}(\omega) = i\omega\varepsilon_0 [\delta\varepsilon(\omega) + \varepsilon_{VF} - \varepsilon_{poz}(\omega)] \quad (3.9)$$

Kako su  $\varepsilon_{VF}$  i  $\varepsilon_{poz}$  približno jednake vrijednosti jer su obje vodene otopine vrijedi

$$\sigma_{mj}(\omega) - \sigma_{poz}(\omega) = i\omega\varepsilon_0\delta\varepsilon(\omega) \quad (3.10)$$

$\delta\varepsilon$  možemo zapisati kao  $\delta\varepsilon = \delta\varepsilon' - i\delta\varepsilon''$  te možemo odrediti imaginarnе i realne dijelove  $\delta\varepsilon$

$$\delta\varepsilon'(\omega) = \frac{Im[\sigma_{mj}(\omega) - \sigma_{poz}(\omega)]}{\omega\varepsilon_0} \quad (3.11)$$

$$\delta\varepsilon''(\omega) = \frac{Re[\sigma_{mj}(\omega) - \sigma_{poz}(\omega)]}{\omega\varepsilon_0} \quad (3.12)$$

Provodnosti  $\sigma_{mj}(\omega)$  i  $\sigma_{poz}(\omega)$  računamo iz mjerene admitancije  $Y_{mj}(\omega)$  te  $Y_{poz}(\omega)$  pomoću izraza 3.3. Realna komponenta je  $G(\omega) = G_{mj} - G_{poz}$ , a imaginarna komponenta je uz  $B(\omega) = C(\omega)\omega$  jednaka  $C(\omega) = C(\omega)_{mj} - C(\omega)_{poz}$ . Sada iz 3.11 i 3.12 slijedi

$$\delta\varepsilon'(\omega) = \frac{l}{S} \frac{C(\omega)}{\varepsilon_0} \quad (3.13)$$

$$\delta\varepsilon''(\omega) = \frac{l}{S} \frac{G(\omega)}{\omega\varepsilon_0} \quad (3.14)$$

Primjer obrade podataka prikazan je na Sl.3.7 za otopine Na-HA u čistoj vodi.

### 3.3.1 Prilagodba rezultata

Na mjernu komoru narinut je izmjenični napon. Ioni otopine, koja se nalazi između elektroda, osjećaju električno polje elektroda te brze izmjene napona uzrokuju brzo oscilatorno mijenjanje položaja. Takav sustav možemo aproksimirati gušenim harmonijskim oscilatorom opisanim jednadžbom:

$$m^* \ddot{\mathbf{x}} + \gamma \dot{\mathbf{x}} + k \mathbf{x} = e \mathbf{E}_0 e^{i\omega t}, \quad (3.15)$$

gdje je  $m^*$  efektivna masa,  $\gamma$  konstanta gušenja jednaka  $\gamma = \frac{m^*}{\tau}$ ,  $\tau$  vremenska konstanta gušenja,  $k$  konstanta elastičnosti. Električno polje  $\mathbf{E}$  je harmonijsko polje amplitude  $\mathbf{E}_0$  i kružne frekvencije  $\omega$ . Prethodni izraz možemo zapisati u obliku

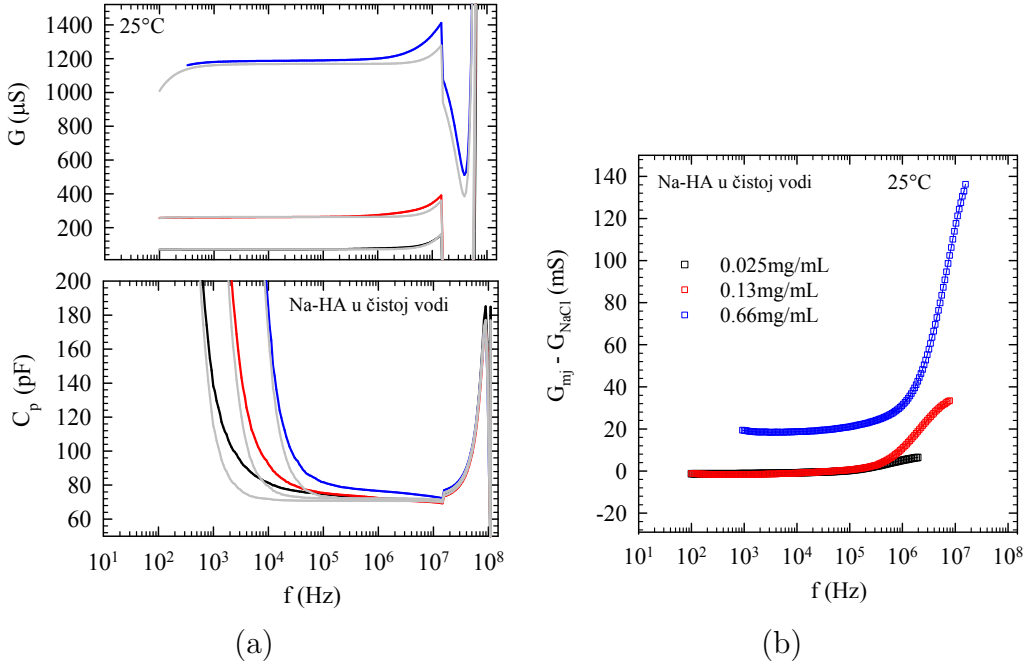
$$\ddot{\mathbf{x}} + \frac{1}{\tau} \dot{\mathbf{x}} + \omega_0^2 \mathbf{x} = \frac{e \mathbf{E}_0}{m^*} e^{i\omega t}. \quad (3.16)$$

Stacionarno rješenje tjeranog harmonijskog oscilatora frekvencije pobude  $\omega$  je:

$$\mathbf{x}(\omega) = \mathbf{x}_0(\omega) e^{i\omega t}. \quad (3.17)$$

Uvrštavanjem ovog rješenja u prethodnu jednadžbu dobije se rješenje

$$\mathbf{x}(\omega) = \frac{e \mathbf{E}_0}{\omega^2 m^*} \frac{1}{(1 - \omega^2/\omega_0^2) + \frac{i\omega}{\omega_0^2 \tau}}. \quad (3.18)$$



**Slika 3.7:** (a) Frekventna ovisnost mjerene vodljivosti  $G_{mj}$  i kapaciteta  $C_{mj}$  dani su linijama u boji za tri različite koncentracije. Sive linije predstavljaju vodljivost pozadine  $G_{poz}$  i kapacitet pozadine  $C_{poz}$ . Kao pozadina koristile su se vodene otopine  $\text{NaCl}$  (b) Frekventna ovisnost vodljivosti  $G$  dobivene oduzimanjem vodljivosti pozadine  $G_{poz}$  od mjerene vodljivosti  $G_{mj}$ .

Nadalje, odgovarajuća polarizacija materijala ovisi o gustoći naboja u materijalu prema izrazu

$$\mathbf{P}(\omega) = e\rho_0 \mathbf{x}(\omega). \quad (3.19)$$

Ukupni dielektrični odgovor dolazi od odgovora na vanjsko električno polje  $\mathbf{E}(\omega)$  te od polarizacije materijala  $\mathbf{P}(\omega)$ . Pomak je povezan s električnim poljem prema izrazu  $\varepsilon(\omega) = \mathbf{D}(\omega)/(\varepsilon_0 \mathbf{E}(\omega))$ ,

$$\mathbf{D}(\omega) = \varepsilon_0 \mathbf{E}(\omega) + \mathbf{P}(\omega) \quad (3.20)$$

gdje je  $\mathbf{D}(\omega)$  dielektrični pomak zbog vanjskog električnog polja. Uvrštavanjem u Jed.3.20 ovog izraza za  $\varepsilon(\omega)$  dobijemo

$$\varepsilon(\omega) - 1 = \frac{\mathbf{P}(\omega)}{\varepsilon_0 \mathbf{E}(\omega)} \quad (3.21)$$

Uvrštavanjem Jed 3.19 u Jed 3.21 dobijemo

$$\varepsilon(\omega) - 1 = \frac{e^2 \rho_0}{\varepsilon_0 \omega_0^2 m^*} \frac{1}{(1 - \omega^2/\omega_0^2) + \frac{i\omega}{\omega_0^2 \tau}} \quad (3.22)$$

Dielektrična jakost sistema jednaka je pred faktoru u 3.22

$$\Delta\varepsilon = \frac{e^2 \rho_0}{\varepsilon_0 m^*} \frac{1}{\omega_0^2}. \quad (3.23)$$

Kada je vanjsko pobuđenje sporije od vlastite frekvencije titranja  $\omega \ll \omega_0$ , u zagradi nazivnika Jed. 3.22 gubi se 2. član. Izvršimo supstituciju  $\tau_0 = 1/(\omega_0^2\tau)$ . Relaksacijska frekvencija ovog prigušenog titranja  $1/\tau_0$  niža je od vlastite frekvencije titranja sustava  $\omega_0$ ,  $1/\tau_0 \ll \omega_0$ . Jed. 3.22 dobiva oblik Debyeve funkcije

$$\delta\varepsilon(\omega) = \frac{\Delta\varepsilon}{1 + i\omega\tau_0}. \quad (3.24)$$

Poopćena Debyeva funkcija, Cole-Cole (CC) funkcija, uključuje distribuciju relaksacijskih vremena oko srednjeg vremena relaksacije  $\tau_0$

$$\delta\varepsilon(\omega) = \frac{\Delta\varepsilon}{1 + (i\omega\tau_0)^{1-\alpha}}. \quad (3.25)$$

Parametar  $0 < 1 - \alpha \leq 1$  opisuje širinu distribucije (što je  $1 - \alpha$  manji, distribucija je šira).  $\Delta\varepsilon$  opisuje jakost dielektrične relaksacije promatranog sustava. CC funkcija se rastavlja na svoju realnu i imaginarnu komponentu:

$$Re \left\{ \frac{\Delta\varepsilon}{1 + (i\omega\tau_0)^{1-\alpha}} \right\} = \Delta\varepsilon \frac{1 + (\omega\tau_0)^{1-\alpha} \cos[(1 - \alpha)\pi/2]}{1 + 2(\omega\tau_0)^{1-\alpha} \cos[(1 - \alpha)\pi/2] + (\omega\tau_0)^{2-2\alpha}}, \quad (3.26)$$

$$Im \left\{ \frac{\Delta\varepsilon}{1 + (i\omega\tau_0)^{1-\alpha}} \right\} = \Delta\varepsilon \frac{(\omega\tau_0)^{1-\alpha} \sin[(1 - \alpha)\pi/2]}{1 + 2(\omega\tau_0)^{1-\alpha} \cos[(1 - \alpha)\pi/2] + (\omega\tau_0)^{2-2\alpha}}. \quad (3.27)$$

### 3.3.2 Oduzimanje pozadine: tehnički elementi

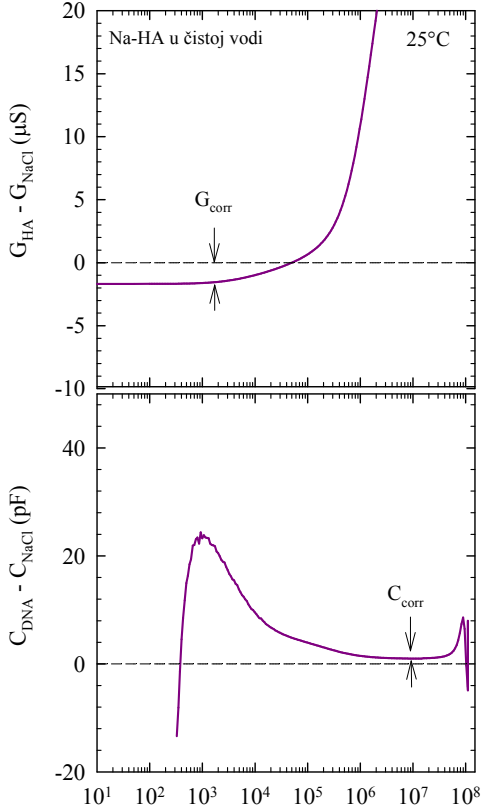
Prilikom mjerjenja nije moguće oduzeti pozadinu savršeno jednake parazitske vodljivosti kao one kod uzoraka (vidi Jed. 3.11 – 3.12). Uvijek postoji dio vodljivosti  $G_{poz}$  i kapacita  $C_{poz}$  pozadine koji su neuklonjeni. Te varijable nazivamo  $G_{corr}$  i  $C_{corr}$ . Da bi uklonili  $G_{corr}$  njegovu vrijednost određujemo na nižim frekvencijama Sl. 3.8 a), na kojima je to glavni doprinos vodljivosti koji kasnije unosimo u model. Provjera izbora  $G_{corr}$  očituje se na obliku dobivene funkcije  $\delta\varepsilon''(\omega)$ , jer za dobar izbor funkcija ima zvonolik, simetričan oblik. Neuklonjeni  $C_{corr}$  Sl. 3.8 b) doprinosi dielektričnoj funkciji  $\delta\varepsilon''(\omega)$  kao  $b = \frac{l}{S} \frac{C_{corr}}{\varepsilon_0}$  i kao slobodni paramtar ulazi u prilagodbu. Dielektrične funkcije Jed. 3.13, 3.14 uz korekcije iznose

$$\delta\varepsilon'(\omega) = \frac{l}{S} \frac{C(\omega)}{\varepsilon_0} \Rightarrow \frac{l}{S} \frac{C(\omega)}{\varepsilon_0} - b \quad (3.28)$$

$$\delta\varepsilon''(\omega) = \frac{l}{S} \frac{G(\omega)}{\omega\varepsilon_0} \Rightarrow \frac{l}{S} \frac{G(\omega) - G_{corr}}{\omega\varepsilon_0} \quad (3.29)$$

CC funkciju prilagođava se eksperimentalnim podacima korigiranim kao u ovim izrazima. Prilagodba CC funkcije mjerjenjima izvodi se variranjem  $G_{corr}$  sve dok se ne dobije najbolje slaganje sa mjerjenim podacima. Kada u mjerjenjima postoje dva relaksacijska procesa, izrazi za realnu i imaginarnu CC funkciju imaju oblik

$$Re \left\{ \frac{\Delta\varepsilon_1}{1 + (i\omega\tau_1)^{1-\alpha_1}} \right\} + Re \left\{ \frac{\Delta\varepsilon_2}{1 + (i\omega\tau_2)^{1-\alpha_2}} \right\} + b = \frac{l}{S} \frac{C(\omega)}{\varepsilon_0}, \quad (3.30)$$



**Slika 3.8:** Frekventna ovisnost realnog dijela vodljivosti i kapaciteta uzorka nakon oduzimanja pozadine. Primjetimo da postoji neuklonjeni dio vodljivosti  $G_{corr}$  i kapaciteta  $C_{corr}$ .

$$Im \left\{ \frac{\Delta\epsilon_1}{1 + (i\omega\tau_1)^{1-\alpha_1}} \right\} + Im \left\{ \frac{\Delta\epsilon_2}{1 + (i\omega\tau_2)^{1-\alpha_2}} \right\} = \frac{l}{S} \frac{G(\omega)}{\omega\epsilon_0} \Rightarrow \frac{l}{S} \frac{G(\omega) - G_{corr}}{\omega\epsilon_0}. \quad (3.31)$$

Prilagodba u slučaju dva relaksacijska procesa vrši se u kompleksnoj ravnini što nam omogućava raspoznavanje dva moda koji se nalaze na bliskim frekvencijama, ako je dielektrična jakost  $\Delta\epsilon$  manja od omjera njihovih srednjih relaksacijskih vremena i ako su modovi uski. Ako je dielektrična jakost moda na niskim frekvencijama (*NF mod*) veća od moda na visokim frekvencijama (*VF mod*). *VF mod* možemo raspoznati ako vrijedi da je:

$$\frac{\Delta\epsilon_{NF}}{\Delta\epsilon_{VF}} < \frac{\tau_{0NF}}{\tau_{0VF}}. \quad (3.32)$$

Kada je *NF mod* manji od *VF mod* *NF mod* se može razaznati ako

$$\frac{\Delta\epsilon_{VF}}{\Delta\epsilon_{NF}} < \frac{\tau_{0NF}}{\tau_{0VF}}. \quad (3.33)$$

Smisao ovih granica dolazi od relaksacijske prirode modova koje mjerimo. Naime, relaksacijski modovi su vrlo široki, njihova krila zahvaćaju 2-3 dekade u frekvenciji. Dakle, ako se manji mod nalazi relativno blizu da bude zakriven krilom većeg moda neće biti razlučiv, ako nije dovoljno velik.

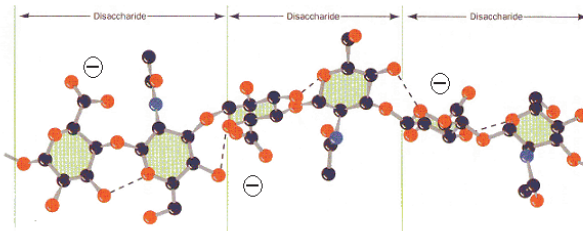
# Poglavlje 4

## Materijali i mjerjenje

### 4.1 Specifikacije uzorka hijaluronske kiseline

#### 4.1.1 Kemijska struktura HA

Hijaluronska kiselina (HA), Sl. 4.1i 4.2, također poznata kao hijaluronan ili hijaluronat [10], spada u glikoaminoglikane \*



**Slika 4.1:** Slika prikazuje segment lanca hijaluronske kiseline duljine 3 monomera. Kemijski, jedan monomer je modificirani disaharid. Primijetimo da osim vodikovih veza-crtkano, samo jednostrukne kovalentne veze povezuju monomere, stoga je ovo polielektrolit koji se odlikuje visokom fleksibilnošću. Karboksilne skupine, jedna po monomeru, koje otpuštaju protuione su označene sa (-). Duljina monomera je  $\approx 1\text{nm}$ . Crno - ugljik, crveno - kisik, plavo - dušik.[9]

HA je građena kao polisaharid, monomeri HA su povezani glikozidnom vezom koju možemo razumjeti kao polisaharidni analog peptidne veze iz proteina. Jedan monomer HA je građen od *D*-glukorne kiseline i *N*-acetil-*D*-glukozamina, dvaju derivata glukoze. HA može biti izrađena od 250 do 25 000 povezanih disaharida. Anionska priroda glukorne kiseline uvjetuje vezivanje HA većinom s kationima poput  $\text{K}^+$ ,  $\text{Na}^+$  te  $\text{Ca}^{2+}$ , iz toga proizlazi polielektrolitska priroda HA.

Natrijeva sol hijaluronske kiseline Na-HA ekstrahirana iz *Streptococcus equi*, nabavljena od tvrtke BioChemika Fluka, bila je korištena za izradu otopina Na-HA u čistoj vodi i u 1mM NaCl.

Molarna masa jednog monomera Na-HA iznosi

$$M_r(\text{Na} - \text{HA}) = 14A_r(\text{C}) + 11A_r(\text{O}) + 20A_r(\text{H}) + 1A_r(\text{N}) + 1A_r(\text{Na}) \quad (4.1)$$

\*Glikoaminoglikani su nerazgranati polisaharidni lanaci sastavljenih od disaharida, kod kojih je jedan šećer aminošećer, a drugi je urična kiselina sa sulfatnim ili karbonatnim skupinama na šećerima.



**Slika 4.2:** Uzorak Na soli hijaluronske kiseline.

$$M_r(\text{Na} - \text{HA}) \approx 401 \text{g/mol} \quad (4.2)$$

Prema tome masa jednog monomera Na-HA iznosi  $m_m = 401 \text{ Da}$  (Da označava unificiranu jedinicu atomske mase i iznosi  $1.66 \cdot 10^{-27} \text{ kg}$ ). Budući da Na-HA sadrži jedan ion natrija po monomeru tada je  $c_{int}$  istovremeno i molarna koncentracija monomera i  $\text{Na}^+$  protuionica. Budući se u pripremi uzorka koristimo masenim koncentracijama Na-HA, a u proučavanju fizikalnih svojstava molarnim koncentracijama protuiona i monomera upotrijebit ćemo molarnu masu  $M_r(\text{Na} - \text{HA})$  kako bismo izveli relacije potrebne za preračunavanje koncentracija.

$$c_{int}[\text{mM}] = c_{HA}[\text{mg/mL}] / 401 \text{g/mol} \quad (4.3)$$

Što se može navesti i kao

$$c_{int}[\text{mM}] = c_{HA}[\text{mg/mL}] * 2.5 \mu\text{mol/mg} \quad (4.4)$$

#### 4.1.2 Fundamentalne veličine vezane uz HA

Bjerrumova dužina vodenih otopina  $l_B = 7.1 \text{\AA}$  određena je prema relaciji 2.14. Duljina jednog monomera HA iznosi  $b = 9.8 \text{\AA}$ . Prema relaciji 2.19 dobijemo da je  $u = 0.72$ , dakle,  $u < 1$ , a prema Manning-Oosawa teoriji to znači da se ne javlja kondenzacija protuionica.

Kako bismo mogli razmotriti fundamentalne prostorne skale naših uzoraka moramo odrediti jesu li naše otopine razrijedene ili polurazrijedene. Pri izračunu koncentracije preklapanja, tj. koncentracije između razrijedenog i polurazrijedenog stanja otopine Na-HA koristimo se pretpostavkom da makromolekula od  $N$  monomera dužine  $b$  zauzima volumen  $V = (bN)^3$ . Koncentraciju polielektrolita kod koje se ti volumeni dotiču smatramo koncentracijom preklapanja  $c^*$ :

$$c^* = \frac{Nm_m}{V} = \frac{m_m}{b^3 N^2}, \quad (4.5)$$

gdje je  $Nm_m$  masa molekule polielektrolita u volumenu lanca preko stupnja polimerizacije  $N$  i mase monomera  $m_m$  (vidi Jed. 4.2). Kako je prema deklaraciji proizvođača molekulska

masa uzorka HA u području od 300 - 1900 kDa, a molekulska masa jednog monomera iznosi 401 Da, broj monomera N (stupanj polimerizacije) je u rasponu od 800 do 5000. Gornju graničnu vrijednost koncentracije preklapanja ocjenjujemo uzimajući u obzir samo najmanje fragmente  $N = 800$  :

$$c^* = \frac{401 \cdot 1.66 \cdot 10^{-27}}{(0.98 \cdot 10^{-9})^3 \cdot 800^2} mg/mL = 0.001 mg/mL. \quad (4.6)$$

Koncentracije otopina koje su se koristile u mjerenjima bile su rasponu od  $0.01 mg/mL \leq c_{HA} \leq 5 mg/mL$ , iznad te granice. Dakle, sva naša mjerena rađena su na polurazrijeđenim otopinama pa za razmatranje fundamentalnih prostornih skala koristimo relacije iz poglavlja 2.2.3. Duljina dužine tvrdokornosti HA iznosi  $7 nm$  [6]. Za dužinu tvrdokornosti Na-HA odgovorna je intermonomerska i intramonomerska poveznica koju čini samo glikozidna, jednostruka veza preko kisika između dva prstena molekula glikana. Usporedbe radi, bitno veća duljina dužine tvrdokornosti kod DNA ( $50 nm$ ) uzrokovana je dvolančanom helikoidalnom strukturom, tj. snažnim vezama nukleinskih baza između i duž dvaju lanaca koji čine dvostruku uzvojnicu.

## 4.2 Priprema uzorka

### 4.2.1 Protokoli pripreme

Kako bismo rezultate mjerjenja svojstava uzorka mogli usporediti s podacima dobivenim u prijašnjim mjerjenjima na DNA [3] te da možemo reproducirati mjerjenja, uzorci moraju biti izrađeni istim ili sličnim protokolima. Protokoli koji se koriste u izradi uzorka su sljedeći

#### I Otopine u čistoj vodi

Granule soli Na-HA otopimo u čistoj vodi, (MiliQ). Dobivenu majku otopinu ostavimo 24 sata na  $4^{\circ}\text{C}$ .

I. (kao protokol I u [3]) iz majke otopine, prethodno opisane, dodavajući čistu vodu izradi se slijed otopina željenog raspona koncentracija. Najniže koncentracije dobivaju se iz sekundarnih majki otopina koje se konsekutivno dobivaju jedna iz druge - samo prva među njima iz primarne majke otopine.

I.1. (protokol nije u [3]) direktno iz primarne majke otopine izradi se slijed otopina željenog raspona koncentracija, bez pripravljanja sekundarnih majki otopina.

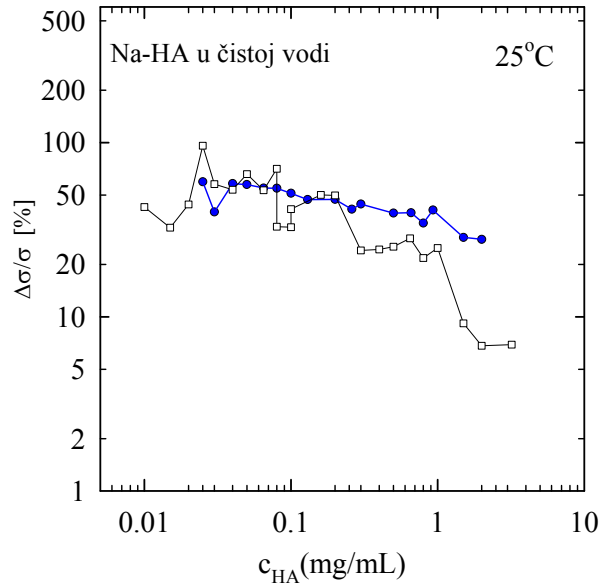
#### II Otopine sa dodanom soli

II1. (kao protokol II.2 u [3]) Majka otopina pripravlja se iz uzorka otopljenog u 10 mM NaCl tokom 48 sati na  $4^{\circ}\text{C}$ . Majka otopina je dijalizirana 48 sati prema 10mM NaCl na  $4^{\circ}\text{C}$  i zatim 24 sata prema 1mM NaCl. Otopine različitih koncentracija Na-HA dobivaju se dodavanjem 1mM NaCl u majku otopinu. Dobivene otopine su različitih koncentracija Na-HA, ali imaju konstantnu ionsku jakost dodane soli.

Kako bi bili sigurni da su otopine homogene, sve otopine izrađene su najmanje 24 sata prije mjerjenja dielektričnom spektroskopijom.

Mjerenjem provodnosti na otopinama u čistoj vodi izrađenim po protokolu I. i I.1. utvrđeno je da su odstupanja od teorijski očekivane provodnosti u oba slučaja velika, kao što se vidi na Sl. 4.3. Za teorijsku provodnost otopine uzimamo provodnosti  $c_{int}$  natrija  $\text{Na}^+$ , čija provodnost je jednaka  $\sigma_{int} = c_{int}\Lambda(\text{Na})$ . Koncentraciju intrinsičnih iona  $\text{Na}^+$  računamo prema relaciji 4.4 dok je molarna provodnost intrinsičnih iona natrija  $\Lambda(\text{NA}) = 51\mu\text{Scm}^{-1}\text{mmol}^{-1}$ . Dobivamo da je  $\sigma_{int} = c_{HA} \cdot 2.5\mu\text{mol}/\text{mg} \cdot 51\mu\text{cm}^{-1}\text{mmol}^{-1}$  [8]. Pri tome pretpostavljamo da provodnosti ne doprinose polionii HA. Odstupanje eksperimentalne od teorijske provodnosti je jednako  $(\sigma_{mj} - \sigma_{int}/\sigma_{int}) * 100\%$ .

U slučaju I.1, kada su sve otopine izrađene iz jedne majke otopine varijacija odstupanja je bitno manja nego za protokol I., gdje je dodatni korak izrade sekundarnih majki otopina povećava varijaciju odstupanja. Razlika dolazi od pogreške u pipetiranju. Kvaliteta pipetiranja je različita ovisno o svojstvima otopine (utječu gustoća i viskoznost) koja se pipetira, stoga u protokolu s povećanim brojem koraka pipetiranja dolazi do odstupanja od željenih pipetiranih volumena, pa tako i koncentracija i odgovarajućih vodljivosti. Prema protokolu I.1. uvijek se pipetira otopina Na-HA iste koncentracije pa pogreška u koncentraciji postoji, ali je podjednaka za sve otopine. Pogreške u pipetiranju, dakle,



**Slika 4.3:** Kružići povezani plavom linijom predstavljaju odstupanje mjerene od teorijski očekivane vodljivosti za otopine izrađene prema protokolu I.1. (jedna majka otopina), a kvadratići povezani crnom linijom predstavljaju odstupanja za otopine izrađene prema protokolu I.(više majki otopina).

uzrokuju odstupanja u koncentraciji otopina, koja iznose do 5% ako se koristi protokol I. Nadalje, na niskim koncentracijama, odstupanja vodljivosti od teorijski očekivane vodljivosti su veća jer na to utječe više čimbenika. Jedan od čimbenika je pogreška u pipetiranju. Otopine niskih koncentracija izrađene su dodavanjem velikih količina vode pipetiranjem pa je ukupna pogreška u pipetiranju veća. Drugi čimbenik je da se u otapalima (čista voda i 1mM NaCl) mogu naći tragovi iona nečistoća koji na niskim koncentracijama nisu zanemarivi. Varijacije odstupanja protokola I. su značajne na visokim koncentracijama, ali to ne pridonosi bitno promjeni eksponenta koje promatramo u analizi 5. To nam dozvoljava da mjerena na otopinama koje su izrađene prema protokolu I. ravnopravno koristimo u daljnjoj analizi. No, ubuduće ćemo koristiti protokol pripreme I.1.

#### 4.2.2 Dijaliza

NFDS metodom mjerimo vodljivost i kapacitet uzorka, a istovremeno svaka nečistoća u uzorku (ioni Ca ili bilo koji drugi koji su mogli ući u uzorak prilikom pripreme) doprinosi vodljivosti, a time utječe na rezultate mjerjenja. Procesom dijalize uklanjamo takve neželjene tvari iz uzorka. Crijevo od polupropusne membrane (pore veličine takve da polimer poput HA ne može izaći, a ioni soli i manjih molekula mogu) u kojem se nalazi uzorak, ubaci se u posudu neke otopine prema kojoj želimo dijalizirati. Ukoliko u uzorku postoji svišak iona s obzirom na otopinu za dijalizu, ioni difundiraju iz područja više koncentracije u područje niže koncentracije. Dakle, ioni izlaze iz crijeva i ulaze u otopinu u posudi. Time se neželjenim ionima smanjuje koncentracija u crijevu, a time se smanjuje njihov utjecaj na rezultate mjerjenja.

*Priprema crijeva*

Dijalizu otopina vršimo u crijevu od polupropusne membrane (Sigma Dialysis Tubing Cellulose; D9277-100FT, 10mmx6mm) zatvorenom kvačicama, prema sljedećem protokolu:

1. plastične kvačice moraju prije upotrebe biti u 1mM EDTA otopini u plastičnoj boci na  $4^{\circ}C$ , (molekule EDTA preferijabilno vežu dvoaomne ione kao  $\text{Ca}^{2+}$  i  $\text{Mg}^{2+}$ ).
2. kvačice i crijevo prije upotrebe isprati MiliQ vodom, tako da vodljivost vode nakon ispiranja ne bude veća od  $1\mu\text{S}$ ,
3. kvačice i crijevo zagrijati u čistoj vodi na  $60^{\circ}C$ ,
4. osušiti crijevo, pri manipulaciji koristiti plastične pincete i rukavice,
5. dijaliza se radi u omjeru 1:500 <sup>†</sup> u PE bocama na magnetnoj miješalici.

#### *Priprema uzorka za dijalizu*

1. Suhu Na-HA otapa se u 10mM NaCl tijekom 48 sati pri temperaturi od  $4^{\circ}C$
2. Crijevo s otopinom Na-HA u 10 mM NaCl je ubačeno u 10mM NaCl. Dijalizira se prema 10mM NaCl u trajanju od 48 sati s jednom izmjenom vode nakon 12 sati.
3. Slijedi dijaliza prema 1mM NaCl tokom 24 sata s izmjenom 1mM NaCl nakon 8 sati.

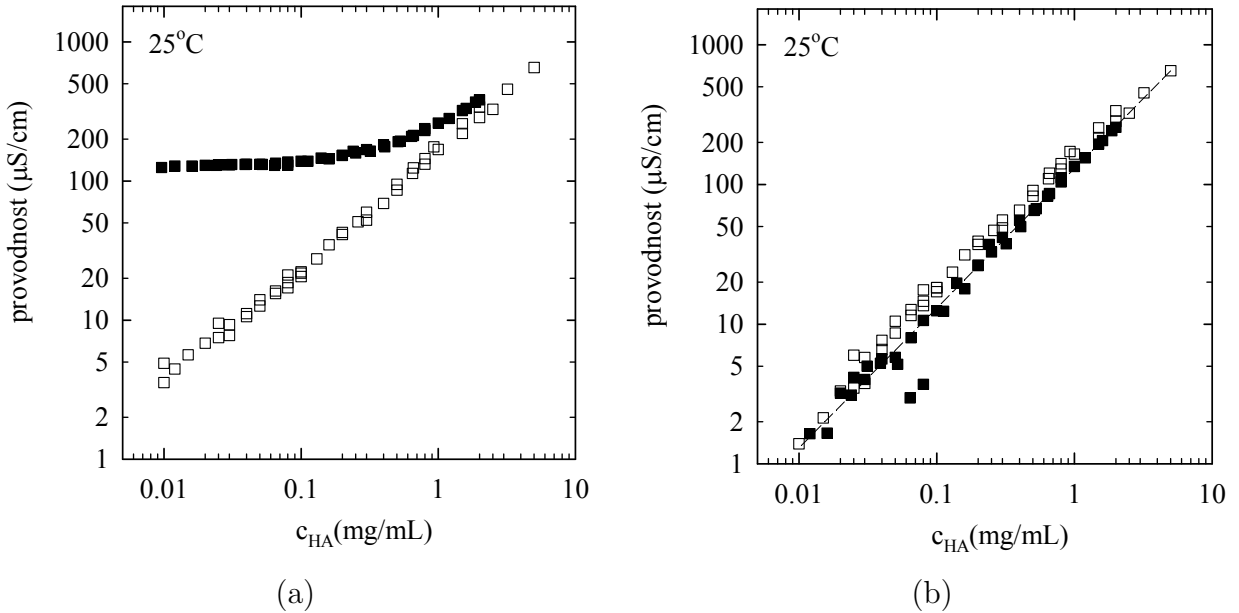
### **4.2.3 Utjecaj dijализe na provodnost uzorka**

Utjecaj dijализe na provodnost uzorka promatramo na mjerenjima otopina Na-HA u čistoj vodi, koje nisu dijalizirane i otopina Na-HA u 1mM NaCl koje su dijalizirane. Ukupnoj provodnosti otopina Na-HA osim intrinsičnih iona  $\text{Na}^+$  doprinosi i vodljivost otapala u kojem se Na-HA otapa. Sama makromolekula polielektrolita je prevelika da bi značajno doprinosila provodnosti. U prvom slučaju doprinos okoline čini provodnost vode, a u drugom provodnost 1mM NaCl Sl. 4.4(a). Provodnost intrinsičnih iona  $\text{Na}^+$  koji su vezani uz HA dobijemo oduzimanjem provodnosti otapala od ukupne provodnosti. Za otopine Na-HA u čistoj vodi oduzet ćemo provodnost vode koju mjerimo u našoj komori, oko  $2\mu\text{S}/\text{cm}$ . Za otopine Na-HA u 1mM NaCl oduzet ćemo upravo provodnost 1mM NaCl, koju smo izmjerili i iznosi oko  $125\mu\text{S}/\text{cm}$ , Sl 4.4(b). Na slici se osim provodnosti intrinskičnih iona  $\text{Na}^+$  za pojedine otopine dobivenih mjeranjem, nalazi i iscrtkana linija koja predstavlja teorijski predviđenu provodnost intrinskičnih iona  $\text{Na}^+$  određene koncentracije.

Vidljivo je da se provodnost intrinskičnih protuionica Na-HA u 1mM NaCl otopini poklapa s teorijski predviđenim provodnostima iona  $\text{Na}^+$  Sl. 4.4(b). Istovremeno provodnosti otopina u čistoj vodi su 30 - 50% veće od očekivanih, (vidi također Sl. 4.3). Možemo pretpostaviti da u otopinama Na-HA u čistoj vodi postoji neki dodatni doprinos provodnosti koji se u otopinama Na-HA u 1mM NaCl dijalizom eliminira. Dijaliza nam, dakle, omogućuje da uklonimo nečistoće iz uzorka te možemo biti sigurni da u dalnjem mjerenu dijaliziranih uzoraka odziv koji dobivamo je samo odziv istraživanog sustava. Dijalizu prema čistoj vodi nismo vršili jer zbog malih ionskih jakosti može lako doći do ionske izmjene i kontaminacije npr.  $\text{Ca}^{2+}$ .

---

<sup>†</sup>1:500 je omjer volumena uzorka i volumena otopine za dijalizu



**Slika 4.4:** (a) Mjerena provodnost otopina Na-HA u čistoj vodi, bijeli kvadratići, a crni kvadratići predstavljaju mjerenu provodnost otopina Na-HA u 1mM NaCl, (b) Provodnost otopina umanjene za provodnost otapala, bijeli kvadratići predstavljaju otopine u čistoj vodi, a crni kvadratići otopine Na-HA u 1mM NaCl. Na slici (b) nalazi se i iscrtkana linija koja predstavlja teorijski predviđenu provodnost.

## 4.3 Rezultati NFDS mjerjenja

U ovom poglavlju izneseni su podaci o otopinama koje su mjerene te podaci o njihovom dielektričnom odgovoru.

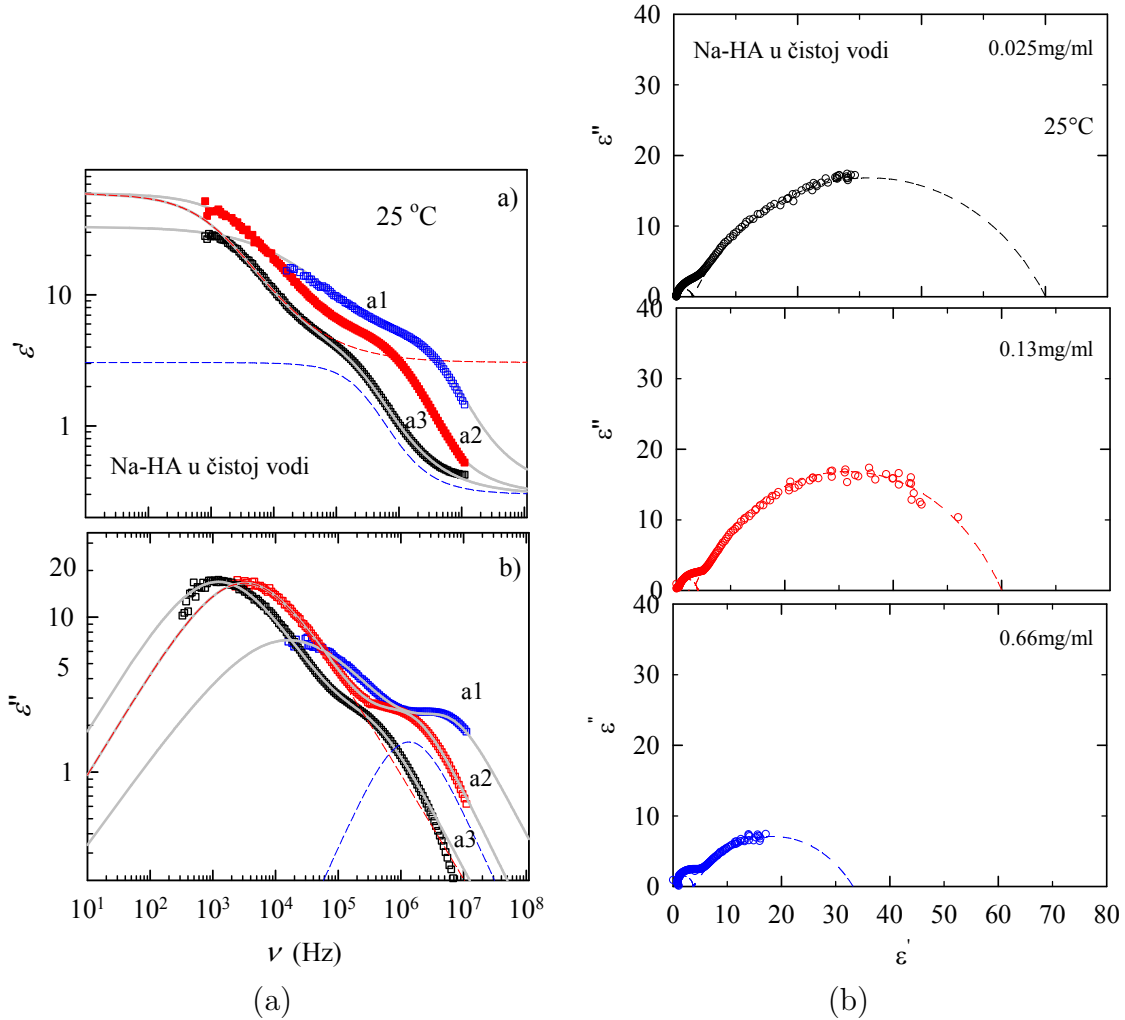
### 4.3.1 Otopine Na -HA u čistoj vodi

Otopine Na-HA u čistoj vodi izrađene su prema protokolima I. i I.1 tako da je konačna koncentracija HA bila u rasponu  $0.01mg/mL \leq c_{HA} \leq 5mg/mL$ . Izrađeno je oko 27 otopina za svaki protokol izrade.

Na slici 4.5(a) se prikazuje frekventna ovisnost dielektrične funkcije otopine Na-HA u čistoj vodi. Spektri prikazani na slici izrađeni su po protokolu I.1, dok se u analizi otopina Na-HA u čistoj vodi koriste podaci mjerjenja na otopinama izrađenim prema protokolima I. i I.1. Realni dio dielektrične funkcije vodene otopine Na-HA koncentracija (0.025, 0.013, 0.66,  $mg/mL$ ) prikazan je na panelu a) dok je imaginarni dio prikazan na panelu b). Izmjereni dielektrični odziv je složen u smislu da se podaci jedino mogu uspješno prilagoditi na zbroj dviju CC funkcija. Kvadratići na slici 4.5(a) predstavljaju izmjerene podatke, pune linije pripadaju zbroju dvije CC funkcije dok isprekidane predstavljaju pojedine CC funkcije.

U spektrima NFDS za sve otopine možemo razlučiti dva moda. Na niskim frekvencijama vidimo niskofrekventni mod, *NF mod*, a na visokim frekvencijama visokofrekventni mod, *VF mod*, što je vidljivo na slici 4.5 mjerenih spektara.

*NF mod* se nalazi u rasponu frekvencija  $0.8kHz \leq \nu_{NF} \leq 0.16MHz$  i ima dielektričnu

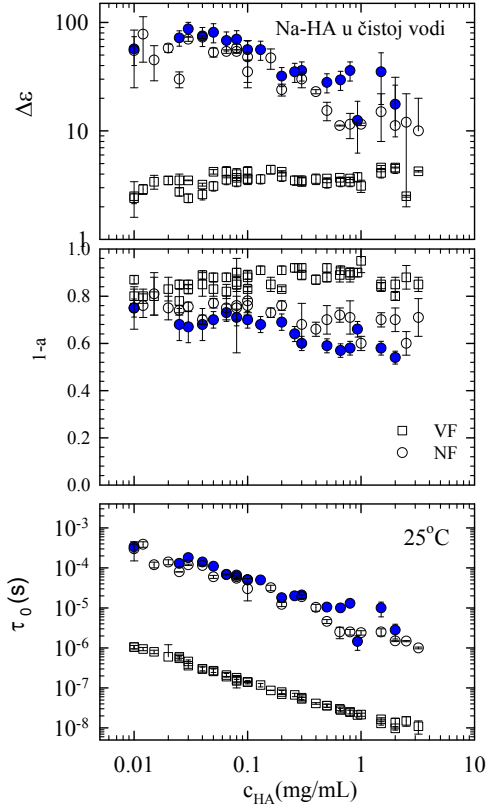


**Slika 4.5:** (a) Log-log prikaz frekventne ovisnosti realnog ( $\epsilon'$ ) i imaginarnog ( $\epsilon''$ ) dijela dielektrične funkcije vodene otopine Na-HA mjerene na  $T=25^\circ\text{C}$ . Za prikaz su odabrane slijedeće koncentracije Na -HA a1=0.66mg/mL, a2=0.13mg/mL, a3=0.025mg/mL. Eksperimentalne točke dane su simbolima. Pune linije su prilagodba na zbroj dvije CC funkcije; dok isprekidane crte predstavljaju prilagodbu na pojedine CC funkcije. Slika (b) prikazuje CC graf dielektričnog odgovora vodenih otopina Na-HA koncentracija a1=0.66mg/mL,a2=0.13mg/mL,a3=0.025mg/mL. Eksperimentalne točke dane su simbolima. Pune linije su prilagodba na zbroj dvije CC funkcije; dok isprekidane crte predstavljaju prilagodbu na pojedine CC funkcije.

jakost  $10 \leq \Delta\epsilon_{NF} \leq 90$ , slika 4.6. Parametar  $1-\alpha$  opisuje širinu raspodjele relaksacijskog vremena. Za  $NF$  mod parametar  $1-\alpha$  opada od 0.8 prema 0.5 pri povećanju koncentracije HA.

Dielektrična jakost  $VF$  moda na svim koncentracijama je manja od dielektrične jakosti  $NF$  moda i nalazi se u rasponu od  $1.2 \leq \Delta\epsilon_{VF} \leq 4.8$ .  $VF$  moda se nalazi u frekventnom rasponu  $0.8\text{ kHz} < \nu_{VF} < 16\text{ MHz}$ . Širina raspodjele relaksacijskog vremena  $VF$  moda je približno konstantna i iznosi  $1-\alpha = 0.85 \pm 0.05$ , što je vidljivo na slici 4.6, srednji panel. Ukratko, dielektrična jakost  $NF$  moda i parametar  $1-\alpha$  opadaju s povećanjem koncentracije, dok dielektrična jakost  $VF$  moda ostaje konstantna nakon blagog povećanja na niskim koncentracijama.

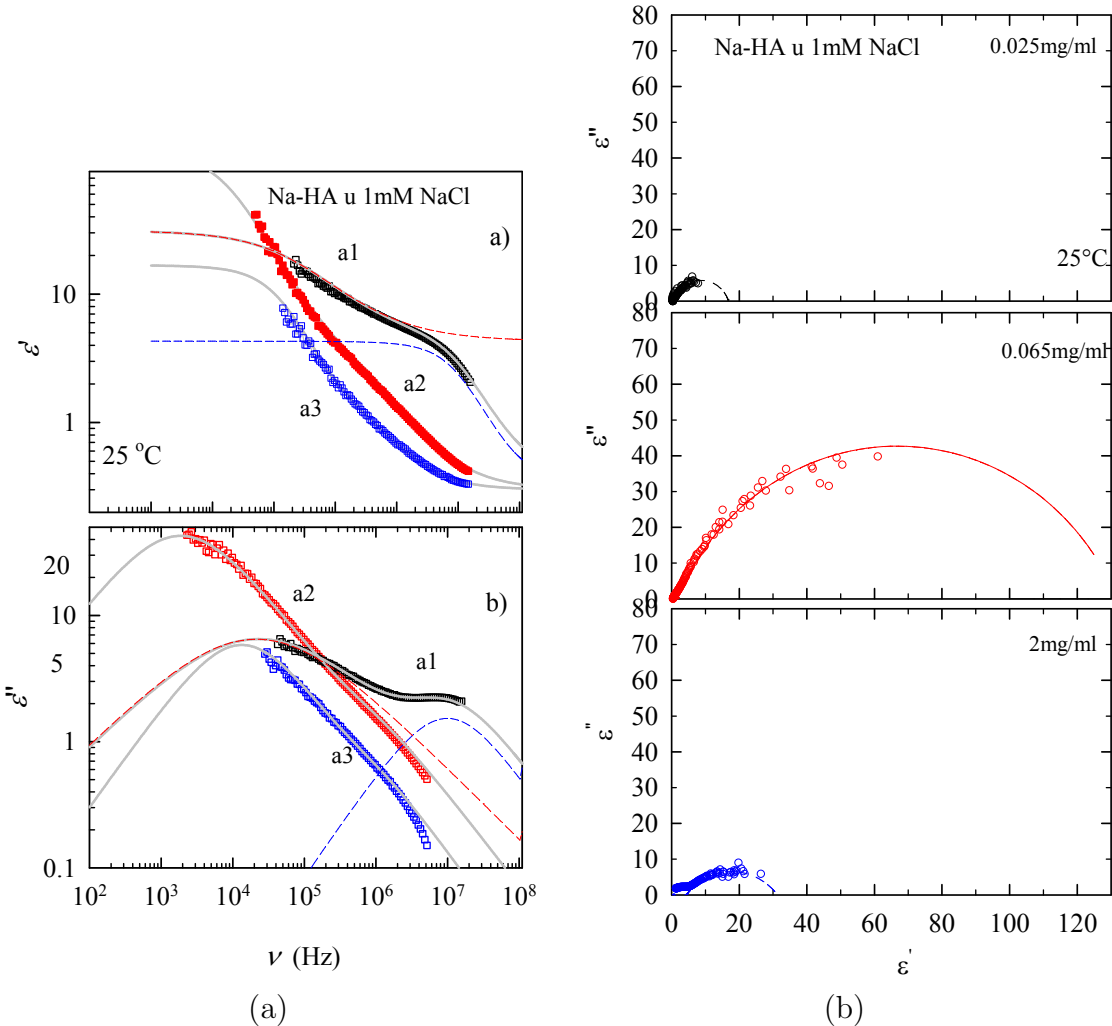
Ako pogledamo sliku 4.5 vidimo da su dobivene relativno kvalitetne prilagodbe sa



**Slika 4.6:** Parametri prilagodbe za oba moda: dielektrična jakost (panel a), širina raspodjele relaksacijskih vremena  $1 - \alpha$  (panel b) i relaksacijsko vrijeme (panel c) za vodene otopine Na-HA u funkciji koncentracije raspona ( $0.01 - 5 \text{ mg/mL}$ ). Kružići prikazuju NF mod dok kvadrati predstavljaju VF mod. Za NF mod bijeli i plavi kružići predstavljaju mjerena na otopinama izrađenim po protokolima I. i I.1., tim slijedom.

nevelikim sumama kvadratnih odstupanja. Stoga i matematički algoritam prilagodbe izbacuje male pogreške vrijednosti parametara, veličine do 3%. Drugim riječima, lokalni minimum u parametarskom prostoru je širine 3%. Kako je ovo analiza spektara s dvama modovima i 6 parametara lokalni minimum pogreške se istovremeno nalazi unutar jednog šireg minimuma gdje se uz veće varijacije parametara može dobiti podjednako kvalitetne prilagodbe kao na slici 4.5. Stoga mi u slici 4.6 naznačavamo pogreške koje odgovaraju širini tog minimuma. Porijeklo tog šireg minimuma je i u nepouzdanosti u odradivanju  $c_{HA}$  (pogreške u pipetiranju). Pogreške se povećavaju za rubne koncentracije polielektro-lita i pri povećanju koncentracije dodane soli. Npr. odstupanje parametra  $\tau$  *NF moda* na niskim koncentracijama iznosi oko 40%, na srednjim oko 16%, a na visokim koncentracijama oko 20%. Odstupanje dielektrične jakosti *NF moda* na niskim koncentracijama iznosi oko 25%, na srednjim 16%, a na visokim koncentracijama 21%. Također, na visokim koncentracijama javlja se razlika između rezultata mjerena na otopinama pripremljenim različitim protokolima (plavi i bijeli kružići u Sl. 4.6). Naime, upravo tu dolazi do razlike u vodljivosti između dvaju setova otopina, znači i koncentracija pa to unosi dodatnu pogrešku.

### 4.3.2 Otopine Na-HA u 1mM NaCl



**Slika 4.7:** (a) Log-log prikaz frekventne ovisnosti realnog ( $\varepsilon'$ ) i imaginarnog ( $\varepsilon''$ ) dijela dielektrične funkcije 1mM NaCl otopine Na-HA mjerene na  $T=25^{\circ}\text{C}$ . Za prikaz su odabrane slijedeće koncentracije Na-HA  $a_1=2\text{mg/mL}$ ,  $a_2=0.065\text{mg/mL}$ ,  $a_3=0.025\text{mg/mL}$ . Eksperimentalne točke dane su simbolima. Pune linije su prilagodba na zbroj dvije CC funkcije; dok isprekidane crte predstavljaju prilagodbu na pojedine CC funkcije. Slika (b) prikazuje CC graf dielektričnog odgovora 1mM NaCl otopina Na-HA koncentracija  $a_1=0.66\text{mg/mL}$ ,  $a_2=0.13\text{mg/mL}$ ,  $a_3=0.025\text{mg/mL}$ . Eksperimentalne točke dane su simbolima, dok isprekidane crte predstavljaju prilagodbu na pojedine CC funkcije.

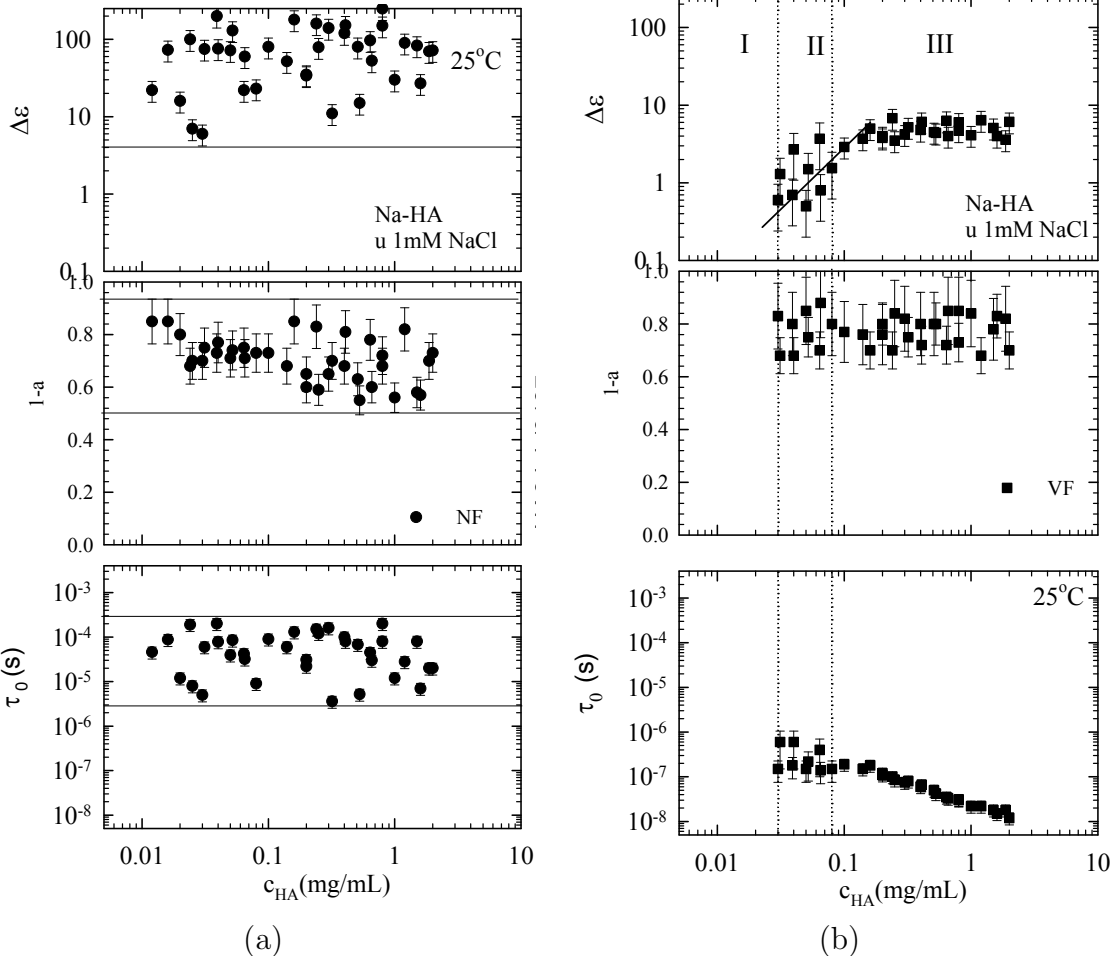
Otopine Na-HA u 1mM NaCl su izrađene prema protokolu II.3., u rasponu koncentracija  $0.01\text{mg/ml} \leq c_{\text{HA}} \leq 2\text{mg/ml}$ , izrađeno je oko 40 otopina. Slika 4.7(a) prikazuje frekventnu ovisnost dielektrične funkcije vodene otopine Na-HA. Realni dio dielektrične funkcije otopine Na-HA koncentracija ( $0.02$ ,  $0.065$ ,  $2\text{ mg/mL}$ ) prikazan je na panelu a) dok je imaginarni dio prikazan na panelu b). Izmjereni dielektrični odziv je složen u smislu da se podaci jedino mogu uspješno prilagoditi na zbroju dviju CC funkcija. Kvadratići na slici 4.7(a) predstavljaju izmjerene podatke, pune linije pripadaju zbroju dvije CC funkcije dok isprekidane predstavljaju pojedine CC funkcije. Za sve otopine možemo razlučiti mod na niskim frekvencijama, tj. *NF mod*. Razlučivanje moda na visokim frekvencijama,

tj. *VF moda* nije bilo jednako moguće za sve koncentracije pa zato razlikujemo tri područja koncentracija za razlučivanje moda. I. područje koncentracija odnosi se na otopine koncentracija  $c_{HA} < 0.03mg/mL$ , gdje se *VF mod* ne može razlučiti. U II. područje koncentracija spadaju otopine koncentracija u rasponu  $0.03mg/mL \leq c_{HA} \leq 0.08mg/mL$ , gdje se *VF mod* može razlučiti, ali teško, zato postoje velike pogreške u određivanjima parametara prilagodbe. Na kraju, III. područje koncentracija, tu spadaju otopine koncentracija  $c_{HA} > 0.08mg/mL$ . U ovom području *VF mod* je dobro razlučiv. Na slici 4.8(b) vidimo da parametri prilagodbe u II. području koncentracija imaju velike pogreške.

*NF mod* se nalazi na niskim frekvencijama na kojima, za 1mM otopine, polarizacija elektroda ima veliki doprinos mjerenim rezultatima. Kako se polarizacija elektroda metodom oduzimanja ne može u potpunosti ukloniti, donja granica u frekvenciji je bila relativno visoko. Tj. eksperimentalni podaci za imaginarni dio dielektrične funkcije ne pokrivaju područje vrha moda, a za realni dio eksperimentalni podaci ne postoje za područje nisko-frekventnog platoa dielektrične funkcije (Usporedi spektre na Sl.4.7 (a) i 4.5(a)). Stoga je točno određivanje parametara *NF moda* bilo otežano tako da svi parametri prilagodbe *NF moda* imaju veliki rasap, što je vidljivo na Sl. 4.8(a).

*VF mod* otopina Na-HA u 1mM NaCl smješten je u frekventnom rasponu  $2.6MHz < \nu_{VF} < 13MHz$  i ima dielektričnu jakost  $0.5 \leq \epsilon_{VF} \leq 6.1$ . Parametar  $1-\alpha$  širine raspodjele relaksacijskog vremena je približno konstantan i nalazi u rasponu  $1 - \alpha = 0.80 \pm 0.05$ . Dielektrična jakost, ponaša se slično kao kod otopina u čistoj vodi. U II. području koncentracija, dielektrična jakost raste s povećanjem koncentracije polielektrolita prema zakonu potencija s eksponentom 1.5, tj.  $\Delta\epsilon(c_{HA} \leq 0.1mg/mL) \sim c_{HA}^{1.5}$ . U III. području koncentracija,  $c_{HA} > 0.1mg/mL$ ,  $\Delta\epsilon$  poprima konstantnu vrijednost. Srednje relaksacijsko vrijeme  $\tau$  u II. području ima konstantnu vrijednost, dok u području III. vrijednost  $\tau$  opada s povećanjem koncentracije.

Otopine Na-HA u čitavom rasponu, prema relaciji 4.6, su polurazrijeđene, što nam omogućuje korištenje pretpostavki i teorija vezanih uz to stanje. U poglavlju 5 izvršiti ćemo analizu i diskusiju ovdje prikazanih osnovnih rezultata mjerjenja.



**Slika 4.8:** (a) Parametri prilagodbe *NF moda* (crni kružići): dielektrična jakost (panel a), širina raspodjele relaksacijskih vremena  $1 - \alpha$  (panel b) i relaksacijsko vrijeme (panel c) za Na-HA u 1mM NaCl u funkciji koncentracije raspona ( $0.01 - 2 \text{ mg/mL}$ ). Pune linije označavaju pojaseve unutar kojeg su rasipani parametri prilagodbe. (b) Parametri prilagodbe *VF moda* (crni kvadratići): dielektrična jakost (panel a), širina raspodjele relaksacijskih vremena  $1 - \alpha$  (panel b) i relaksacijsko vrijeme (panel c) za Na-HA u 1mM NaCl u funkciji koncentracije raspona ( $0.01 - 2 \text{ mg/mL}$ ). Strelicama označene koncentracije naznačuju područja različite kvaliteta prilagodbe. Crta na panelu a prikazuje ovisnost  $\Delta\epsilon \propto c_{HA}^{1.5}$ .

# Poglavlje 5

## Analiza rezultata i diskusija

Intrinsični ioni Na-HA prate promjene električnog polja i zato je njihovo gibanje oscilatorno. Općenito, gibanje iona otopinom određeno je zakonom difuzije zbog čega je prostorna skala  $L$ , duž koje se ioni kreću, povezana s relaksacijskim vremenom  $\tau_0$ , koje mjerimo, prema relaciji Einstein-Smoluchowski:

$$L \propto \sqrt{\tau_0 D_{in}}, \quad (5.1)$$

gdje je  $D_{in}$  konstanta difuzije protuionica koja je aproksimirana konstantom difuzije slobodnih iona. U našem slučaju za konstantu difuzije intrinsičnih protuionica natrija, isto kao u istraživanju genomske DNA u članku [3], koristimo konstantu difuzije slobodnih iona natrija  $D_{in} = 1.33 \cdot 10^{-9} m^2 s^{-1}$ . Također, u istraživanju genomske DNA u članku [3] je eksperimentalno dokazano da je konstanta proporcionalnosti u jednadžbi 5.1 reda veličine 1.

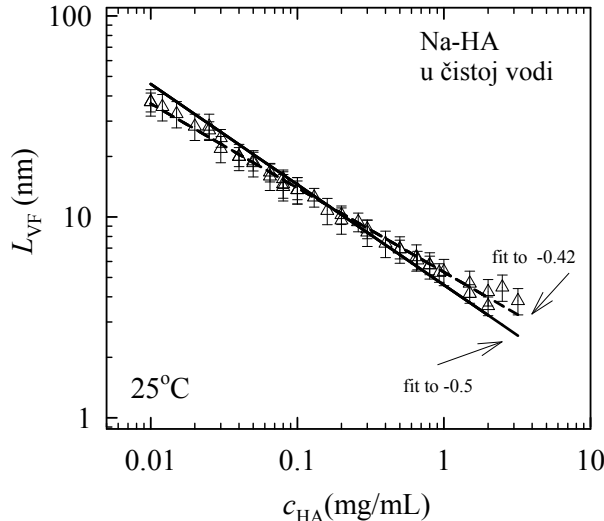
U poglavlju 5.1 nalazi se analiza NFDS mjerena na otopinama Na-HA u čistoj vodi, a u 5.2 analiza NFDS mjerena na otopina Na-HA u 1mM NaCl.

### 5.1 Analiza rezultata mjerena dielektrične relaksacije otopina Na-HA u čistoj vodi

#### 5.1.1 Visokofrekventni mod (*VF mod*)

Srednje vrijeme relaksacije *VF moda* nalazi se u intervalu  $1 \cdot 10^{-8} s \leq \tau_0 \leq 2 \cdot 10^{-6} s$  iz čega prema jednadžbi 5.1 proizlazi da se vrijednosti karakteristične dužine za *VF mod*,  $L_{VF}$ , nalaze u intervalu 4-40 nm.  $L_{VF}$  pokazuje ovisnost o koncentraciji  $c_{HA}$  prema zakonu potencije  $L_{VF} \propto c_{HA}^{-0.42 \pm 0.03}$  Sl.5.1.

U istraživanju otopina DNA u čistoj vodi [3] *VF mod* je bio povezan s informacijom o strukturi polurazrijeđene otopine polielektrolita. *VF mod* daje informaciju o fundamentalnoj skali koja opisuje strukturu naše otopine, a to je korelacijska dužina,  $\xi \propto c^{-0.5}$  (vidi 2.2.3). U otopinama Na-HA u čistoj vodi vidljivo je postojanje razlike između teorijski predviđenog eksponenta -0.5, i eksperimentalno izmјerenog -0.42. Razlika teorijskog i eksperimentalnog eksponenta je veća od pogreške eksperimentalno nađenog eksponenta, Sl. 5.1. Potencijalni uzrok odstupanja zbog premalog raspona koncentracija možemo izostaviti jer se u mjerenu koriste otopine koncentracija preko tri dekade. Kako ne znamo



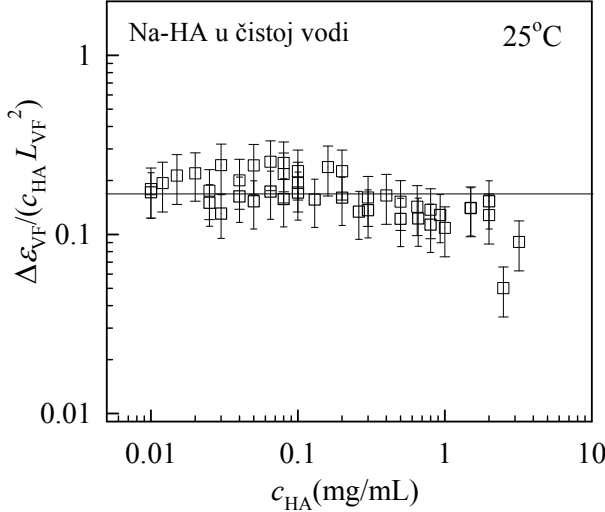
**Slika 5.1:** Karakteristična dužina VF moda ( $L_{VF}$ ) otopine Na-HA u čistoj vodi u ovisnosti o koncentraciji. Puna crta predstavlja prilagodbu na  $L_{VF} \propto c_{HA}^{-0.42 \pm 0.03}$ , gdje je eksponent bio slobodni parametar prilagodbe. Crtkana linija je prilagoda na  $L_{VF} \propto c_{HA}^{-0.5}$ , gdje je eksponent fiksiran pri prilagodbi.

pravi uzrok razlike eksperimentalnog i teorijski očekivanog eksponenta možemo pretpostaviti da u teorijskom izvodu nedostaje neka korekcija. U radu na DNA [3] eksperimentalni rezultati se poklapaju s teorijski predviđenima. DNA je polufleksibilan polielektrolit, na temelju toga možemo prepostaviti da teorija vrijedi za polufleksibilne polielektrolite, dok za polielektrolite visoke fleksibilnosti, poput HA, u teoriju treba uvesti korekcije.

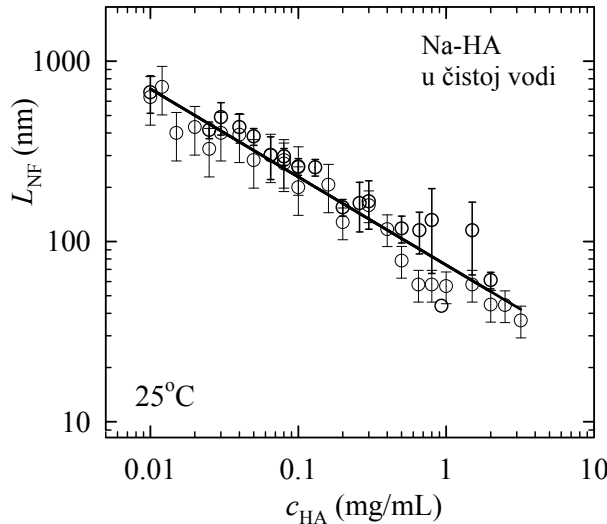
Stupanj polimerizacije,  $N$ , DNA korištene u mjerjenjima [3] je do reda veličine veći od stupnja polimerizacije HA u našim mjerjenjima. Kako je stupanj polimerizacije manji za HA, manji je i ukupni broj korelacijskih volumena, a time je lanac, koji grade korelacijski volumeni, kraći. Ako lanac sadrži premali broj korelacijskih volumena, nemoguće je zanemariti utjecaj krajeva lanaca (*chain end effect*). Utjecaj krajeva lanaca mogao bi biti odgovoran za razliku mjerenoj eksponentu od teorijski očekivanog [1].

Spomenimo još da ako bismo pak pretpostavili da su naše otopine razrijedene, ni tada se očekivani rezultati ne bi poklapali s našim rezultatima. Naime, za razrijedene otopine VF daje informacije o udaljenosti između lanaca te bi očekivano ponašanje bilo  $L_{VF} \sim c^{-0.33}$ . Vidimo da je i taj eksponent različit od eksperimentalno dobivenog za HA 5.1.

Definirajmo dielektričnu jakost moda sa  $\Delta\epsilon_{VF} \approx f_{VF} \cdot c_{in} \cdot \alpha_{VF}$ , gdje je  $f_{VF}$  udio protuionica koji sudjeluju u VF procesu, koncentracija tih protuionica je  $c_{in}$  [mM] =  $c_{HA}$  [mg/mL] ·  $2.5 \mu\text{mol}/\text{mg}$  (Jed. 4.4). Polarizabilnost je općenito proporcionalna  $\alpha_{VF} \propto e^2 \cdot L_{VF}^2 \cdot /(\epsilon_0 kT) \propto l_B \cdot \epsilon \cdot L_{VF}^2$ , tj. kvadratu dimenzije inducirane dipola. Stoga je udio protuionica  $f_{VF}$  koji sudjeluju u VF procesu proporcionalan sa  $\Delta\epsilon_{VF} / (c_{HA} \cdot L_{VF}^2)$ . Na slici 5.2 prikazujemo ovisnost  $f_{VF}$  o koncentraciji Na-HA. Približno konstantna vrijednost  $f_{VF}$  pokazuje da udio protuiona koji sudjeluju u VF ne ovisi o koncentraciji  $c_{HA}$ . Takav rezultat dobiven je i u mjerjenjima s DNA [3].



**Slika 5.2:** Normalizirana dielektrična jakost  $\Delta\epsilon_{VF}/(c_{HA} \cdot L_{VF}^2)$  VF moda otopine Na-HA u čistoj vodi u funkciji koncentracije ( $c_{HA}$ ).



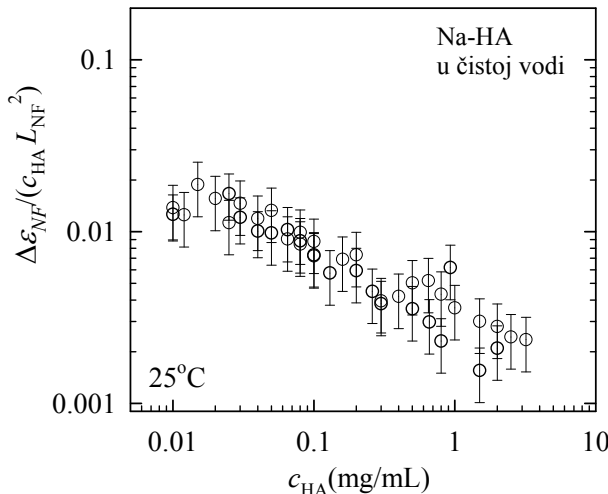
**Slika 5.3:** Karakteristična dužina NF moda ( $L_{NF}$ ) otopine Na-HA u čistoj vodi u ovisnosti o koncentraciji. Puna crta je prilagodba na  $L_{NF} \propto c_{HA}^{-0.48 \pm 0.05}$ .

### 5.1.2 Niskofrekventni mod (*NF mod*)

Srednje relaksacijsko vrijeme *NF moda* je u intervalu  $1 \cdot 10^{-6}s \leq \tau_0 \leq 1.8 \cdot 10^{-4}s$ , a time je karakteristična dužina  $L_{NF}$  u rasponu 40-800nm.  $L_{NF}$  za otopine Na-HA u čistoj vodi pada s povećanjem koncentracije  $c_{HA}$ , a ovisnost odgovara zakonu potencija s eksponentom  $-0.48 \pm 0.05$ . Na slici 5.3 puna crta je prilagodba na relaciju  $L_{NF} \propto c_{HA}^{-0.48 \pm 0.05}$ . U istraživanju otopina DNA u čistoj vodi [3] utvrđeno je da za polurazrijedene otopine polielektrolita  $L_{NF}$  odgovara srednjoj dužini lanca, čiji je teorijski opis dan u potpoglavlju 2.2.3, gdje je ovisnost  $L_{NF}$  koncentracije polielektrolita prema zakonu potencija  $L_{NF} \propto c_{HA}^{-0.25}$ , Jed.2.33. Na slici 5.3 se vidi da vrijednosti  $L_{NF}$ , pogotovo za veće koncen-

tracija Na-HA, imaju povećane pogreške, no, kao i za *VF mod*, razlika eksperimentalno dobivenog eksponenta i teorijski predviđenog za  $L_{NF}$  ne može se pripisati utjecaju povećanih pogrešaka. Eksperimentalni rezultat za DNA [3], se unutar granica pogreške, slagao sa teorijskim predviđanjem.

Do razlika u eksponentu za DNA i HA dolazi od razlika u fleksibilnosti DNA i HA. Kod polufleksibilnih polielektrolita dužina tvrdokornosti  $L_p$  je veća od korelacijske dužine  $\xi$ , tj.  $L_p \geq \xi$ . U tom slučaju dužina lanca je proporcionalna koncentraciji prema zakonu potencija s eksponentom -0.25, tj.  $R_e \sim c^{-0.25}$ . Za fleksibilne polielektrolite dužina tvrdokornosti  $L_p$  je manja od korelacijske dužine  $\xi$ ,  $L_p \leq \xi$ , a srednja dužina lanca je proporcionalna koncentraciji prema zakonu potencija s eksponentom -0.5, tj.  $R_e \sim c^{-0.5}$  [5]. Dužina tvrdokornosti DNA je  $L_p(DNA) = 50\text{nm}$ , a korelacijska dužina u intervalu  $7\text{nm} \leq \xi(DNA) \leq 50\text{nm}$ . Time DNA zadovoljava uvjete za polufleksibilne polielektrolite. Eksperimentalni rezultati za srednju dužinu lanca DNA se poklapaju s teorijskim očekivanjima [3]. Dužina tvrdokornosti HA je  $L_p(HA) = 7\text{nm}$ , a iznos korelacijske dužine se nalazi u rasponu od  $4\text{nm} \leq \xi(HA) \leq 35\text{nm}$ . HA zadovoljava uvjete za fleksibilne polielektrolite. Dakle, mjereni je eksponent za HA jednak teorijski očekivanom eksponentu za veličinu lanca polufleksibilnih polielektrolita u polurazrijeđenoj otopini.



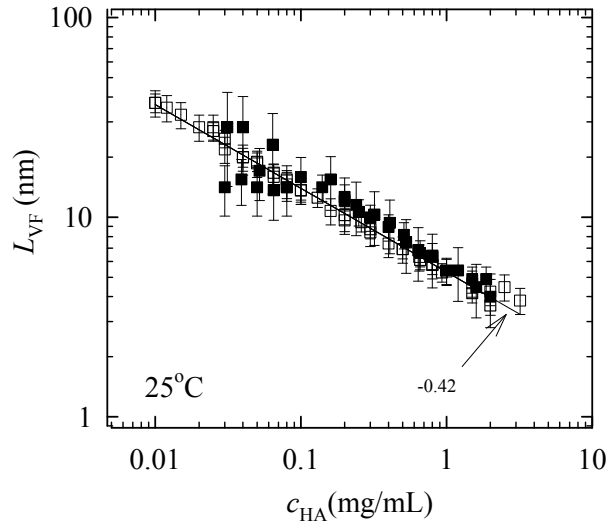
**Slika 5.4:** Normalizirana dielektrična jakost  $\Delta\epsilon_{NF}/(c_{HA} \cdot L_{NF}^2)$  NF moda vodene otopine Na-HA u funkciji koncentracije

Podaci na slici 5.4 pokazuju da se broj protuiona koji sudjeluju u NF procesu smanjuje s povećanjem koncentracije Na-HA. Usporedno sa mjeranjima na DNA gdje je broj iona koji sudjeluju u NF procesu stalan, vidimo da se ponašanje NF moda za HA općenito ne poklapa sa očekivanjima. Ponovo možemo primjetiti kako je kod DNA, zbog pojave kondenzacije, došlo do toga da kondenzirani i nekondenzirani protuioni sudjeluju u NF i VF modu zasebno, a da se kod HA kondenzacija ne javlja. Dakle, kod HA bi svih protuiona trebali sudjelovati u obje relaksacije, no ostaje nejasno zašto bi samo kod NF moda njihovo efektivno sudjelovanje u dielektričnom odgovoru opadalo s koncentracijom HA.

## 5.2 Analiza rezultata mjerena dielektrične relaksacije otopina Na-HA u 1mM NaCl

Analiza spektara NFDS otopina Na-HA u 1 mM NaCl svodi se na analizu *VF moda* jer zbog utjecaja polarizacije elektroda ne možemo kvantificirati *NF moda* kao što smo pojasnili u poglavlju 4.3.2. Problemi u kvantificiranju *NF moda* u 1mM NaCl otopinama također su evidentirani u radu s kratkim DNA [3].

Srednje relaksacijsko vrijeme *VF moda* nalazi se u intervalu  $1.2 \cdot 10^{-8}s \leq \tau_0 \leq 6 \cdot 10^{-7}s$ , karakteristična dužina 4 - 28nm.

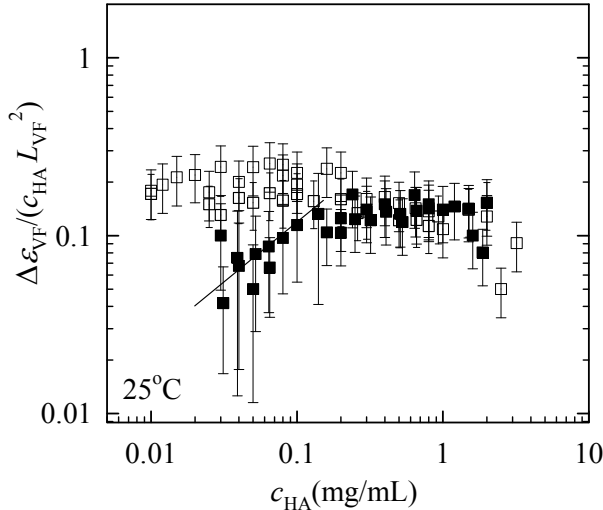


**Slika 5.5:** Karakteristične dužine *VF moda* u ovisnosti o koncentraciji HA, za otopine Na-HA u čistoj vodi ( bijeli kvadratići ) i za otopine Na-HA u 1mM NaCl ( crni kvadratići ).

Ovisnost  $L_{VF}$  o koncentraciji  $c_{HA}$  za otopine u 1mM NaCl na visokim koncentracijama ostaje proporcionalna s koncentracijom prema zakonu potencija  $L_{VF} \propto c_{HA}^{-0.42 \pm 0.05}$ . No, za koncentracije manje od 0.08mg/mL,  $L_{VF}$  za otopine Na-HA u 1mM NaCl ima velike pogreške pa promatrajući Sl. 5.5 ne možemo odrediti slijedi li  $L_{VF}$  otopina Na-HA u 1mM NaCl ponašanje  $L_{VF}$  otopina Na-HA u čistoj vodi ili poprima konstantnu vrijednost.

Normirana dielektrična jakost moda otopina Na-HA u čistoj vodi ne ovisi o koncentraciji, dok njezina vrijednost za otopine Na-HA u 1mM NaCl pada sa smanjenjem koncentracije  $c_{HA}$  ispod 0.08mg/mL, Sl.5.6 . Dakle, efektivni broj protuiona koji sudjeluju u VF relaksaciji pada s  $c_{HA}$  ispod 0.08 mg/mL. Naime, kod otopina koncentracija manjih od 0.08 mg/mL ioni 1mM NaCl prevladaju intrinsične ione, odnosno, povećanjem zasjenjenja ionima dodane soli smanji se efektivna jakost odziva, tj. efektivni broj iona koji sudjeluju u među lanačnom procesu relaksacije protuiona. Ovakvo ponašanje normirane dielektrične jakosti moda otopina Na-HA podudara se s ponašenjem otopina DNA prikazanim u članku [3].

Promatrajući parametre prilagodbe za  $\tau_{0VF}$ , i  $\Delta\epsilon_{VF}$  na Sl. 4.8(b) te vrijednosti  $\Delta\epsilon_{VF}/(c_{HA} \cdot L_{VF}^2)$  na Sl. 5.6 pokušat ćemo pojasniti ponašanje  $L_{VF}$  za  $c_{HA} \leq 0.8mg/mL$ .  $\Delta\epsilon_{VF}$  raste s povećanjem koncentracije za koncentracije  $c_{HA} \leq 0.8mg/mL$  Sl. 5.6, i to prema zakonu potencija s eksponentom 1.5 :  $\Delta\epsilon_{VF} \sim c_{HA}^{1.5}$ . Na slici 5.6 vidimo da  $\Delta\epsilon_{VF}/cL_{VF}^2$  raste



**Slika 5.6:** Normaliziranu dielektričnu jakost  $\Delta\epsilon_{VF}/(c_{HA} \cdot L_{VF}^2)$  u funkciji koncentracije *VF moda* otopine Na-HA u čistoj vodi predstavljaju bijeli kvadratićima, a otopine Na-HA u 1mM crni kvadratići. Crta na prikazuje ovisnost  $\Delta\epsilon_{VF}/(c_{HA} \cdot L_{VF}^2) \propto c_{HA}^{0.5}$ .

s eksponentom 0.5, pri povećanju koncentracije za  $c_{HA} \leq 0.8 \text{ mg/mL}$ . Uz takva okvirna ponašanja  $\Delta\epsilon_{VF}$  i  $\Delta\epsilon_{VF}/cL_{VF}^2$  možemo, dakle, zaključiti da  $L_{VF}$  za  $c_{HA} \leq 0.8 \text{ mg/mL}$  poprima konstantnu vrijednost. Slična pojava zabilježena je i u radu s DNA [3]. Ukratko, karakteristična dužina za otopine DNA u 1mM NaCl [3] na visokim koncentracijama polielektrolita slijedi ovisnost  $L_{VF}$  u čistoj vodi i ostaje nepromijenjena sve dok je koncentracija intrinsičnih iona  $c_{int}$  srazmjerno veća od koncentracije iona dodane soli. Kada koncentracija intrinsičnih iona postane manja od koncentracije iona dodane soli,  $L_{VF}$  se više ne povećava smanjenjem koncentracije.  $L_{VF}$  ostaje konstantan i s iznosom bliskim Debyeovoj dužini za 1mM NaCl otopinu. Kvalitativna analogija u ponašanju karakteristične dužine  $L_{VF}$  za Na-HA i DNA smatra se potvrdom našeg razumijevanja dobivenih rezultata [3]. U slučaju HA do promjene režima ponašanja dolazi pri omjeru koncentracija  $2I_s/c_{int}$  iznosa 4, a za DNA je red veličine manji i iznosi 0.4. Možemo pretpostaviti da do razlike dolazi zbog MO kondenzacije 2.1.3. U slučaju HA, a za razliku od DNA gdje većina intrinsičnih iona ostaje u blizini polielektrolita, dodanoj soli je teže savladati utjecaj slobodnih intrinsičnih iona.

Dakle, naša mjerjenja na Na-HA u 1mM NaCl otopinama identificiraju  $L_{VF}$  kao korelaciju dužinu  $\xi$  iako eksponent ovisnosti prema zakonu potencija  $L_{VF}$  o  $c_{HA}$  odstupa od teorijski očekivane vrijednosti. To odstupanje objašnjavamo na isti način kao u otopinama Na-HA u čistoj vodi (vidi poglavljje 5.1.1) dakle utjecajem krajeva lanaca. Kada se u otopini nalazi dovoljno dodane soli  $L_{VF} = \xi$  prelazi u Debyevu dužinu  $\kappa^{-1}$ , kao i kod DNA.

U radu s otopinama DNA u 1mM NaCl niskofrekventni mod je vezan uz dužinu tvrdokornosti, a kako u našim istraživanjima HA u 1mM NaCl nismo mogli dobiti nikakve konkretne informacije o *NF modu* potrebno je izvršiti daljnja mjerjenja na otopinama Na-HA u varirajućim koncentracijama dodane soli, osobito u koncentracijskom području soli manjem od 1mM NaCl gdje je utjecaj polarizacije elektroda na mjerjenja manji pa pa će kvantifikacija  $L_{NF}$  biti moguća, no ta mjerjenja nisu obuhvaćena ovim diplomskim radom.

# Poglavlje 6

## Zaključak

Proučavana su svojstva vodenih otopina natrijeve soli hijaluronske kiseline (Na-HA), polielektrolita biološkog porijekla. Na temelju mjerena niskofrekventnom dielektričnom spektroskopijom te koristeći teorijska predviđanja i poredbu s rezultatima za DNA (također polielektrolit), dobili smo informacije o strukturi same molekule HA u otopini, kao i o strukturi otopine. Zaključke izvodimo iz analize ovisnosti parametara koji opisuju dva relaksacijska moda, visokofrekventni mod (VF mod, u MHz području) i niskofrekventni mod (NF mod, u kHz području). Naime, iz relaksacijskih vremena tih modova proizlaze karakteristične dužine koje povezujemo sa fundamentalnim skalamama kojima teorija opisuje otopine polielektrolita. Specifično, karakteristične dužine VF moda ( $L_{VF}$ ) povezujemo uz skale koje opisuju otopine, tzv. koreacijsku dužinu  $\xi$  ili pak Debyevu dužinu  $\kappa^{-1}$ , a NF moda ( $L_{NF}$ ) uz skale samog polielektrolita, dakle veličinu lanca  $R$  ili pak dužinu tvrdokornosti  $L_P$ .

U otopinama Na-HA u čistoj vodi  $L_{VF}$  pokazuje ovisnost o koncentraciji HA prema zakonu potencije  $L_{VF} \propto c_{HA}^{-0.42}$ , koji je različit od teorijski očekivanog za  $\xi \propto c^{-0.5}$ , kakav je npr. doiven u mjerjenjima grupe dr. Tomić na otopinama DNA. Prepostavljamo da takvo odstupanje kod Na-HA dolazi zbog utjecaja krajeva lanaca, jer su uzorci Na-HA sadržavali red veličine kraće molekule. Dodatni prilog identifikaciji  $L_{VF}$  daju rezultati mjerena Na-HA u otopini 1 mM NaCl, gdje se ponovo javljaju analogije s DNA. Dok je omjer broja iona dodane soli i broja intrinsičnih  $\text{Na}^+$  iona porijeklom s Na-HA manji od 4 ponašanje  $L_{VF}$  je istovjetno onom u otopinama u čistoj vodi. No, kad omjer premaši 4, tj. kada dodana sol dominira,  $L_{VF}$  identificiramo sa Debyevom dužinom otopine,  $\kappa^{-1}$ . Važno je primijetiti da je kod Na-HA omjer pri kojem dolazi do prijelaza s  $\xi$  na  $\kappa^{-1}$ , za red veličine veći nego kod DNA. Naime, kod HA se ne javlja MO kondenzacija te je, u odnosu na DNA gdje ona postoji, relativno mnogo intrinsičnih iona slobodno i u kompeticiji sa ionima dodane soli. Karakteristična dužina NF moda za otopine Na-HA u čistoj vodi također pokazuje ovisnost prema zakonu potencije,  $L_{NF} \propto c_{HA}^{-0.5}$  s eksponentom različitim od onoga kod DNA koji iznosi 0.25. Ipak, analogija u identifikaciji skala s DNA vrijedi i za NF mod. Naime, za polufleksibilne polielektrolite, poput DNA gdje je  $L_p$  veći od  $\xi$ , teorija predviđa ovisnost veličine lanca  $R$  s eksponentom 0.25, dok se kod fleksibilnih polielektrolita, poput HA gdje je  $L_p$  manji od  $\xi$  (tj. od  $L_{VF}$ ), teorijski očekuje upravo eksponent 0.5 koji smo u našem radu i dobili.

Sukladnost rezultata za HA s onima za DNA pomalo prestaje po pitanju jakosti dielektričnog procesa i efektivnog broja nosilaca koji sudjeluju u relaksaciji. U slučaju DNA uočeno je da kondenzirani ioni sudjeluju u NF procesu, a slobodni u VF i da se njihov

omjer ne mijenja dok nema dodane soli. No, kod HA ne dolazi do MO kondenzacije, što znači da postoji samo jedna vrsta protuionica koji moraju sudjelovati u oba relaksacijska procesa. Iznenađujuće je onda kako se kod HA javlja opadanje s  $c_{HA}$  efektivnog broja nosilaca za NF mod, dok je taj broj konstantan za VF mod! Eksperiment u dodanoj soli (1mM NaCl) je pokazao analogiju s DNA rezulatom za VF mod, tj. opadanje efektivnog broja relaksacijskih entiteta kao posljedicu zasjenjenja. Nažalost, parametri NF moda nisu mogli biti određeni zbog prejakog utjecaja polarizacije elektroda na niskim frekvencijama gdje se mod nalazio, što nas zasad onemogućava u cijelovitom razumijevanju ponašanja efektivnog broja relaksacijskih entiteta kod Na-HA.

Na kraju napomenimo da NFDS kao tehnika pruža jednostavan način dobivanja informacija o sustavu polielektrolit-otopina, no ima ograničenja. Utjecaj polarizacija elektroda na niskim frekvencijama dolazi najviše do izražaja za otopine velikih koncentracija iona u otopini, tj. povećane dodane soli ili povećane koncentracije polielektrolita. Polarizacija elektroda smanjuje frekventni raspon našeg mjernog postava pa je jedan od motiva za daljnji rad smanjenje njenog utjecaja kako bi se razriješilo ponašanje Na-HA u otopinama s dodanom soli i možda detektirali i duljinu tvrdokornosti kao još jednu karakterističnu skalu, kao što je to uspjelo grupi dr. Tomić kod DNA.

# Dodatak A

## Fizikalne veličine

Fizikalna veličina	Oznaka	Jedinica
Avogadrova konstanta	$N_A$	$6.022 \cdot 10^{23} / mol$
Boltzmanova konstanta	$k_B$	$1.38 \cdot 10^{-23} J/K$
Bjerrumova dužina	$l_B$	$\text{\AA}$
broj monomera u elektrostatskom volumenu	$g_e$	-
broj monomera u korelacijskom volumenu	$g$	-
Debyeova dužina	$\kappa^{-1}$	nm
dielektrična funkcija	$\varepsilon(\omega)$	-
dielektrična konstanta	$\varepsilon$	F/m
dielektrična konstanta vode	$\varepsilon_{H_2O}$	78.65 na T=300K
dielektrični pomak	$D$	C/m <sup>2</sup>
difuzijska konstanta	D	m <sup>2</sup> /s
dužina konture polimera	L	nm
dužina tvrdokornosti	$L_p$	nm
efektivna masa	m*	kg
električno polje	$E$	V/m
elektrostatski potencijal	$\varphi$	V
elektrostatski volumen	$D_e$	nm <sup>3</sup>
elementarni naboј	e	$1.6 \cdot 10^{-19} C$
gustoća struje	j	A/m <sup>2</sup>
imaginarni dio dielektrične funkcije	$\varepsilon''(\omega)$	-
imaginarni dio kompeksne admitancije	$B(\omega)$	S
impedancija	Z	$\Omega$
ionska jakost elektrolita	$I_s$	mM, 1/m <sup>3</sup>
jakost relaksacijskog procesa	$\Delta\varepsilon$	-
kapacitet	C	F
karakteristična dužina niskofrekventnog moda	$L_{NF}$	nm
karakteristična dužina visokofrekventnog moda	$L_{VF}$	nm
karakteristično relaksacijsko vrijeme	$\tau_0$	s
kompleksna admitancija	$Y(\omega)$	$1/\omega$
koncentracija polielektrolita	c	mg/mL
koncentracija preklapanja	c*	mg/mL

Dodatak A. Fizikalne veličine

---

Fizikalna veličina	Oznaka	Jedinica
konstanta elastičnosti	k	kg/s <sup>2</sup>
konstanta gušenja	$\gamma$	kg/s
konstanta komore	K	m <sup>-1</sup>
koordinata, prostorna	x	m
korelacijska dužina	$\xi$	nm
kružna frekvencija	$\omega$	1/s
magnetsko polje	H	T
molarna provodnost	$\Lambda$	$\mu \text{ Scm}^{-1} \text{M}^{-1}$
naboj	q	C
otpor	R	$\Omega$
permitivnost vakuma	$\varepsilon_0$	$8.858 \cdot 10^{-12} \text{F/m}$
polarizacija	$P(\omega)$	C/m <sup>2</sup>
površina	S	m <sup>2</sup>
provodnost	$\sigma$	$\mu\text{S/cm}$
realni dio dielektrične funkcije	$\varepsilon'(\omega)$	-
realni dio kompleksne admitancije	G( $\omega$ )	S
relativna dielektrična konstanta	$\varepsilon_r$	-
struja	I	A
svojstvena frekvencija titranja	$\omega_0$	1/s
temperatura	T	K
vanjsko električno polje	E( $\omega$ )	V/m
valencija iona	z	-
veličina lanca	R	m
volumna gustoća naboja	$\rho$	1/ m <sup>3</sup>
vremenska konstanta gušenja	$\tau$	s

# Dodatak B

## Metodički dio

Priprema za nastavu

*Škola:* Gimnazija

*Razred:* Drugi

*Nastavni predmet:* Fizika

*Nastavna cjelina:* Elektrostatika

*Nastavna jedinica:* Električno polje

*Trajanje:* Jedan školski sat

*Ključni pojmovi:* naboј, sila, međudjelovanje, polje

*Cilj nastavne jedinice:* Uvesti pojam električnog polja

*Zadaci:*

**Obrazovni:** - utvrditi da su električna svojstva prostora oko naboja neovisna o probnom naboju

- uvesti pojmove: električno polje, jakost električnog polja te odrediti mjeru jedinicu

- utvrditi da je električno polje vektorska veličina

- objasniti pojam silnice električnog polja

**Funkcionalni**

- razvijati sposobnost logičkog zaključivanja

**Odgojni**

- poticati radoznanost

- uvažavati druga mišljenja

- razvijati vještina dijaloga

Nastavna cjelina Elektrostatika, a time i električno polje, obrađuje se u drugom razredu gimnazije. U prethodnoj obradi nastavne cjeline elektrostatike učenici su se susreli s pojmom pozitivnog i negativnog naboja te Coulombove sile kao rezultata međudjelovanja naboja. Koristeći prije usvojene pojmove uvesti čemo novi pojam, električno polje, te utvrditi neka njegova svojstva.

Način izvođenja nastave je u obliku interaktivne nastave. Postavljanjem problemskih pitanja, predstavljanjem različitih problemskih situacija koje je protrebbno razriješiti, nastavnik potiče učenike na razmišljanje te dolaženje do vlastitih zaključaka. Također, učenici uče uvažavati tuđa mišljenja. Uloga nastavnika je da potpitanjima vodi učenike razmišljanju do ostvarivanja nastavnog cilja.

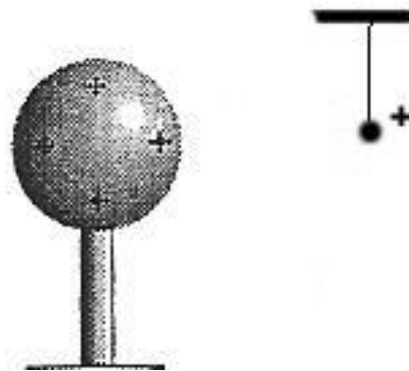
U nastavku slijedi primjer toka sata koji sadrži pitanja i prepostavljene odgovore učenika.

Tijek nastavnog sata

Uvodni dio sata:

Pokus:

Pribor: metalna sfera na stalku, metalna kuglica obješena o nit, štap i krpica kojima ćemo nanelektrizirati sferu i kuglicu (Sl. B.1).



**Slika B.1:** Pokus: Pribor koji koristimo u izvođenju pokusa

Metalnu sferu te kuglicu obješenu o nit nabijemo pozitivnom nabojem.

**Pitanje:** Što će se dogoditi ako nabijenu kuglicu približimo nabijenoj sferi?

Učenici će raspravom utvrditi da bi se, s obzirom da su i kuglica i sfera nabijene istoimenim nabojem (a od prije im je poznato djelovanje električne sile), kuglica trebala otkloniti.

- izvedemo pokus

**Pitanje:** Opišite što ste opazili.

Učenici opisuju opažanje; približavanjem kuglice sferi, kuglica se otklonila. Učenici primjećuju da se otklon kuglice obješene o nit povećava približavanjem kuglice sferi.

**Pitanje:** Kako električna sila djeluje na kuglicu? Kako ju pomiče? Kad imamo autić na stolu, da bi ga mogli pomaknuti moramo ga gurati. Na koji način električna sila pomiče kuglicu?

U raspravi učenici utvrđuju da se kuglice ne dodiruju, te da sila djeluje bez dodirivanja. Raspraviti kako to sila "djeluje na daljinu". Rapraviti da postojanje naboja na sferi utječe na električna svojstva prostora.

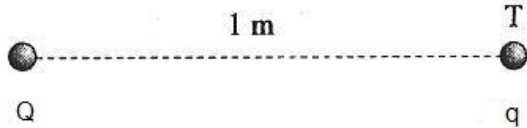
Glavni dio sata:

**Pitanje:** Kolika sila djeluje u točki T u kojoj se nalazi naboј od  $q=1\text{nC}$  na udaljenosti od 1m od naboja od  $Q=1\text{C}$ ? (Sl. B.2)

Koristći prije usvojen izraz za silu učenici računaju silu u točki T.

$$F=k \frac{q_1 q_2}{r^2}, \quad k=9 \cdot 10^9 \text{NC}^{-2} \text{m}^2.$$

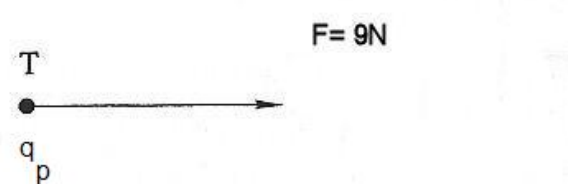
$$F=9 \cdot 10^9 \text{NC}^{-2} \text{m}^2 \frac{1\text{C} \cdot 10^{-9}\text{C}}{(1\text{m})^2}=9\text{N}$$



**Slika B.2:** Naboji  $q=1\text{nC}$  i  $Q=1\text{C}$  nalaze se na udaljenosti od 1m.

Učenici računaju silu između naboja  $Q$  i  $q$  te dobivaju iznos 9N.

**Pitanje:** Ako u točki T imamo probni naboj  $q_p$  1nC i na njega djeluje sila od 9N, možemo li odmah znati kakva je raspodjela naboja prouzrokovala tu silu? (Sl. B.3)?



**Slika B.3:** Na probni naboju u točki T djeluje sila od 9N.

Kako bi učenici mogli odgovoriti na ovo pitanje promatramo novi problem.

Kolika bi sila djelovala na naboju  $q_p=1\text{nC}$  u točki T ako bi na udaljenost od 1m od tog naboja u jednu stranu stavili drugi naboja  $0.5\text{C}$ , a na suprotnu stranu na udaljenost od 1m naboja  $-0.5\text{C}$ ?

Napomenuti učenicima da promatraju silu jednog po jednog naboja. Prije nego što učenici počnu rješavati problem potaknuti raspravu o sličnosti ovog i prethodnog zadatka. Učenici raspravljajući primjećuju da se nabojski smanjio s obzirom na prethodni zadatak te da u ovom slučaju imamo dva različita naboja, svaki upola manjeg iznosa nego u prethodnom zadatku.

**Pitanje:** Ako je nabojski dva puta manji kako se promjenja sila?

U raspravi učenici primjećuju da je sila proporcionalna s nabojem, te ako se nabojski smanji

smanjit će se i sila. U ovom se slučaju naboј svake promatrane čestice se smanjio dva puta, pa će se i sila svake od čestica na probni naboј smanjiti dva puta. Dakle, u prethodnom slučaju sila je iznosila 9N, a sada svaka od čestica djeluje na probni naboј silom iznosa iznosi 4.5N. Primjećuju da je sila na probni naboј od čestice pozitvnog naboja odbojna, a od čestice negativnog naboja privlačna.

**Pitanje:** Skicirajte na slici sile na probni naboј u točki T.

Skicirajući sile na probni naboј učenici primjećuju da obje sile imaju isti smjer. Koristeći analognu situaciju, guranja auta jednog čovjeka ili dva čovjeka, navesti učenike na zaključak da se sile zbrajaju.

Učenici zaključuju da je ukupna sila koja djeluje na probni naboј u točki T jednaka zbroju sile te iznosi 9N.

**Pitanje:** Promotimo sada obje problemske situacije, pokušajmo odgovoriti na prethodno postavljeno pitanje o uzroku sile na probni naboј.

Učenici primjećuju da je sila u oba sličaja ista, ali da su naboji različiti. Učenici zaključuju da različiti raspored naboja može dati jednaku silu te da samo poznavanje sile ne govori o raspodjeli i količini naboja, pa ne mogu odrediti koji naboј uzrokuje silu.

**Pitanje:** Nastavak na prethodni zadatak. Kolika će sila djelovati na probni naboј  $q_p$  ako su u točki T nalazi naboј i iznosa;

- a) 2nC
- b) -1nC
- c) 4nC?

Učenici od prije znaju da u točki T na naboј od 1nC djeluje sila od 9N. Učenici opet koriste zaključivanje na temelju proporcionalnosti te promjenu naboja povezuju s promjenom sile. Ako se naboј 2 puta poveća povećat će se i sila, dakle ako je sila bila 9N za 1nC, za 2nC će biti 18 N. Takvo razmišljanje koriste za ostale primjere te dobivaju slijedeće iznose sile.

$$F_a = 18\text{N}$$

$$F_b = -9\text{N}$$

$$F_c = 36\text{N}.$$

**Pitanje:** Vidimo da se sila na probni naboј u točki T mijenja ako mijenjamo iznos naboja u toj točki. Postoji li nešto što ostaje nepromijenjeno?

Učenici primjećuju da se mijenja i probni naboј i sila na njega. Uputiti učenike da promatraju odnos sile i probnog naboja što ih dovodi do zaključka da je omjer sile u točki T i naboja koji se nalaz u toj točki konstantan te iznosi  $9 \cdot 10^9 \text{N/C}$ .

U daljnjoj raspravi učenici primjećuju da je uzrok sile na probni naboј u točki T nepoznat, ali da je omjer sile i naboja u toj točki konstantan, tj. ne ovisi o naboju koji se nalazi u toj točki.

**Pitanje:** Omjer sile i probnog naboja predstavlja novu veličinu koju zovemo jakost električnog polja. Električno polje označavamo s E. Koja je mjerna jedinica električnog polja?

Uvidom u omjer  $E = \frac{F}{q_p}$  učenici uvrštavaju poznate mjerne jedinice za силу i naboј te dobiju da je mjerna jedinica za električno polje N/C.

**Pitanje:** Utvrdili smo da električno polje u nekoj točki ne ovisi o probnom naboju,

tj. da električno polje u nekoj točki u prostoru ne ovisi o naboju koji se u njoj nalazi. Što je uzrok električnom polju u nekoj točki u prostoru?

Učenici promatraju izraz za jakost električnog polja u nekoj točki, on je jednak omjeru sile u toj točki i probnog naboja koji se nalazi u toj točki, tj.  $E = \frac{F}{q_p}$ . Sila u točki, gdje se nalazi probni naboј, je posljedica međudjelovanje probnog naboja  $q_p$  i naboja  $q$  na udaljenosti  $r$  od probnog naboja, tj.  $F = k \frac{q q_p}{r^2}$ . Uvrštavajući izraz za силу u izraz za jakost električnog polja učenici dobivaju relaciju za jakost električnog polja

$$E = k \frac{q q_p}{r^2} \frac{1}{q_p} = k \frac{q}{r^2}. \quad (\text{B.1})$$

Promatrajući dobiveni izraz učenici zaključuju da jakost električnog polja u nekoj točki ovisi o naboju u prostoru, tzv. izvoru električnog polja i udaljenosti te točke od naboja.

**Pitanje:** Sila je vektorska veličina, ima smjer, a naboј nije vektorska veličina, to je broj. Je li električno polje vektor ili broj?

Učenici dolaze do zaključka o električnom polju promatrajući omjer vektorske veličine sile i naboja. Uviđaju da naboј utječe na iznos omjera, ali ne utječe na smjer pa dolaze do zaključka da je i  $E$  vektorska veličina, te ima isti smjer kao i sila. Zaključuju da jakost električnog polja ovisi o iznosu iznosu naboja i udaljenosti, a da je smjer polja jednak smjeru sile.

**Pitanje:** Koliki je iznos električnog polja u točki T, iz prvog problema, u kojoj se nalazi naboј  $1\text{nC}$ , a na udaljenosti od  $1\text{m}$  od naboja od  $1\text{C}$ .

Učenici sada koriste izraz za električno polje u nekoj točki u prostoru. Uvrštavajući poznate vrijednosti u dobiveni izraz za polje dolaze do rezultata da električno polje u točki T iznosi

$$E = 9 \cdot 10^9 \text{NC}^{-2} \text{m}^{-2} \frac{1\text{C}}{(1\text{m})^2} = 9 \cdot 10^9 \text{N/C}.$$

**Pitanje:** Skicirajte na slici smjer električnog polja u točki T.(Sl.B.4.)

**Pitanje:** Odredite smjer električnog polja u točkama A, B na slici B.5. Skicirajte!

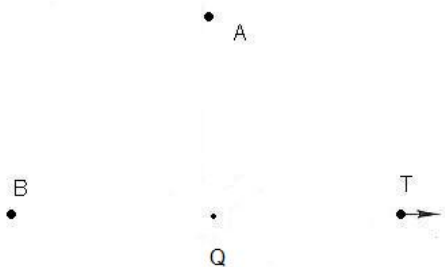
Učenici primjećuju da se u tim točkama ne mijenja iznos električnog polja jer su točke A, B i T jednako udaljene od naboja. Utvrđuju da se mijenja smjer sile, pa time i smjer električnog polja. Učenici skiciraju smjer električnog polja te dobivaju Sl.B.6

**Pitanje:** Na slici vidimo smjer električnog polja u točki T. Kakvo je električno polje u točki koja se nalazi na istom pravcu kao i točka T, ali bliže naboju  $1\text{nC}$ .?

Učenici raspravljaju koristeći izraz za jakost električnog polja  $E = k \frac{q}{r^2}$ . Obzirom da promatramo točku koja je bliža naboju  $1\text{nC}$  dakle promijenio se  $r$  pa će se promijeniti i  $E$ . Učenici zaključuju kako je električno polje obrnuto proporcionalno udaljenosti točke od naboja tj. ako se udaljenost smanji, električno polje će se povećati. Smjer električnog polja ostaje isti. Da bi označili električno polje u toj točki moramo uzeti u obzir da smjer ostaje isti, a da se mijenja jačina polja što raprezentiramo dužinom strelice. Duža strelica označava jače polje, a kraća strelica slabije polje. Učenici zaključuju da se na istom pravcu iznos električnog polja, a time i dužine strelica smanjuju s povećanjem udaljenosti



Slika B.4: Električno polje u točki T.



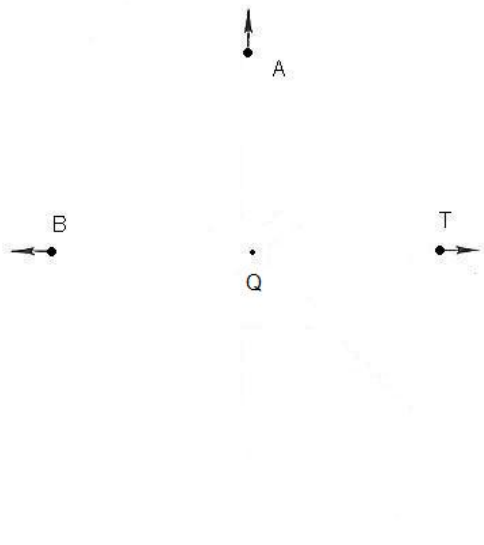
Slika B.5: Točke prostora (A i B) u kojima učenici trebaju skicirati smjer električnog polja.

između naboja. Učenici zatim skiciraju isto za negativni naboj kao izvor polja.

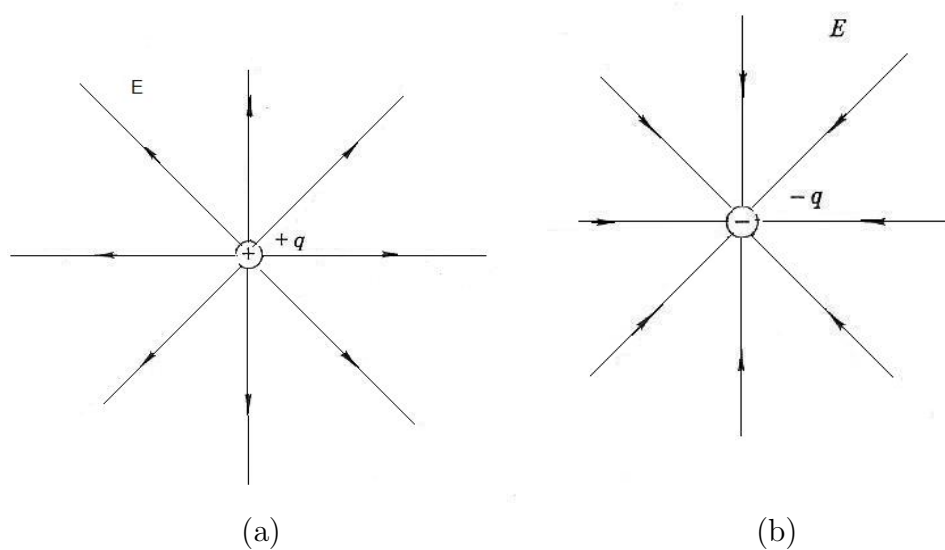
**Pitanje:** Da bi se zornije predložilo električno polje uvedene su zamišljene linije koje nazivamo silnicama. Njihovo je važno svojstvo da tangenta na silnicu u bilo kojoj točki određuje smjer električnog polja u toj točki. Kako bi izgledale silnice za slučaj točkastog naboja?

Učenici kroz raspravu dolaze do oblika silnica za točkasti naboj kao na slici. Pogledom na silnice za naboj  $1\text{nC}$  i  $-1\text{nC}$  učenici zaključuju da električno polje pozitivnog naboja ima smjer od naboja, a polje negativnog naboja ima smjer prema naboju (Sl. B.7)

**Literaturu:**



**Slika B.6:** Električno polje u točkama T, A i B.



**Slika B.7:** (a) Električno polje pozitivnog naboja , (b) Električno polje pozitivnog naboja

R. Krsnik:, Fizika 2, Udžbenik za 2. razred gimnazije, B inačica programa, ŠK, Zagreb, 1997.

# Bibliografija

- [1] A. V. Dobrynin and M. Rubinstein, Prog. Polym. Sci. **30**, 1049 (2005).
- [2] M. B. Jackson, “Molecular and Cellular Biophysics”, (Cambridge Univeristy Press, New York, 2006)
- [3] S. Tomić, S. Dolanski Babić, T. Vuletić, S. Krča, D. Ivanković, L. Griparić and R. Podgornik, Phys. Rev. E. **75**, 021905 (2007). ; S. Tomić, S. Dolanski Babić, T. Ivec, T. Vuletić, S. Krča, F. Livolant and R. Podgornik, Phys. Rev. Lett. **81**, 68003 (2006).
- [4] P. G. de Gennes, P. Pincus, R. M. Velasco and F. Brochard, J. Phys. (Paris) **37**, 1461 (1976).
- [5] T. Odijk, J. Polym. Sci.: Polym. Phys. **15**, 477 (1977).
- [6] Z. Kutnjak, G. Lahajnar, C. Filipič, R. Podgornik, L. Nordenskiöld, N. Korolev i A. Rupprecht, Phys. Rev. E **71**, 041901 (2005)
- [7] Dielectric Spectroscopy Centre Manual, Zagreb (2007).
- [8] D. R. Lide, CRC Handbook of Chemistry and Physics, 88th Edition, 2007
- [9] D. Voet, J. G. Voet, “Biochemistry” (J. Wiley&Sons, New York, 2004)
- [10] B. Alberts et. al, “Molecular Biology of the Cell ”, (GS, 2002)
- [11] K. Radmanović, “Komora za mjerjenje dielektrične konstante uzoraka u tekućoj fazi”, Zagreb, diplomski rad, (2005)
- [12] A. Vojvodić, “Dielektrična relaksacija koloidne otopine nanočestica polistirenskog lateksa”, Zagreb, diplomski rad, (2006)
- [13] T. Ivec, “Val gustoće naboja u kvazi-jednodimenzionalnim kupratima”, Zagreb, diplomski rad, (2004)